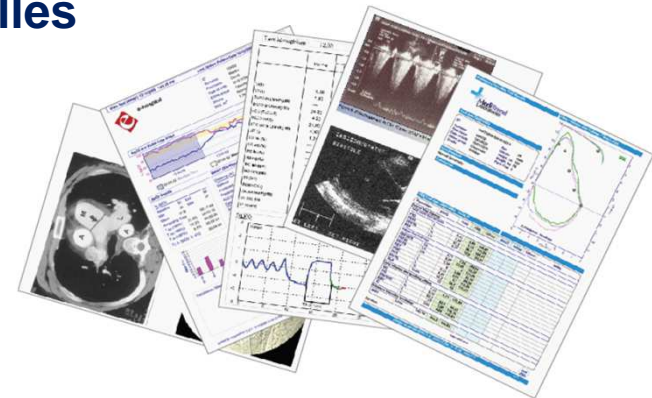


# Explorations Fonctionnelles Respiratoires



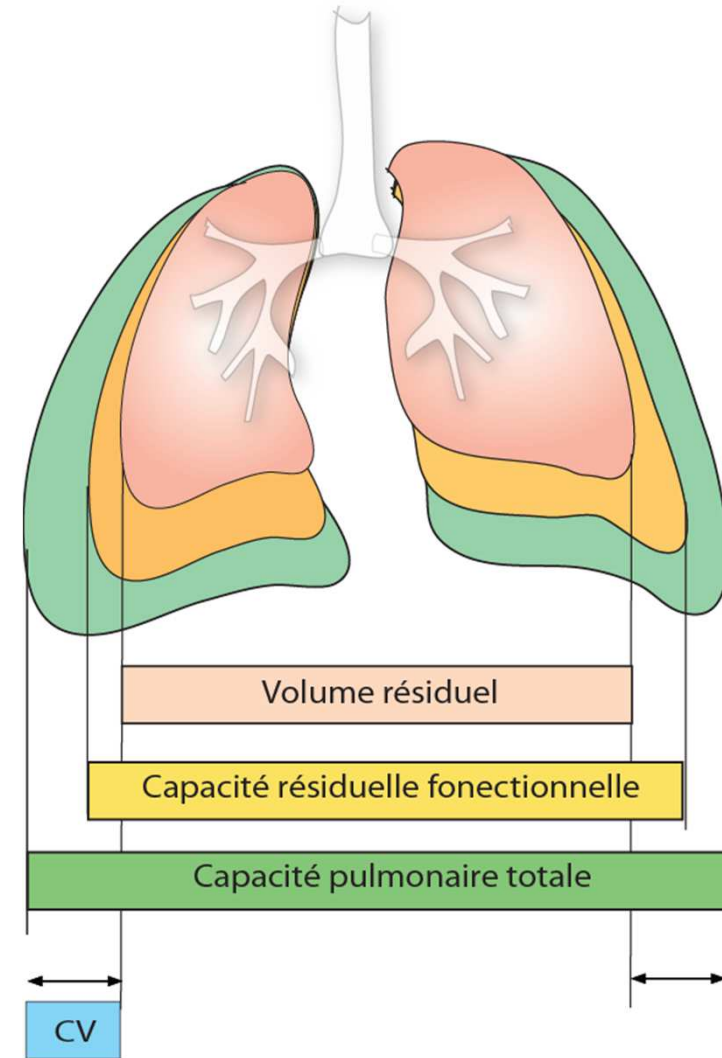
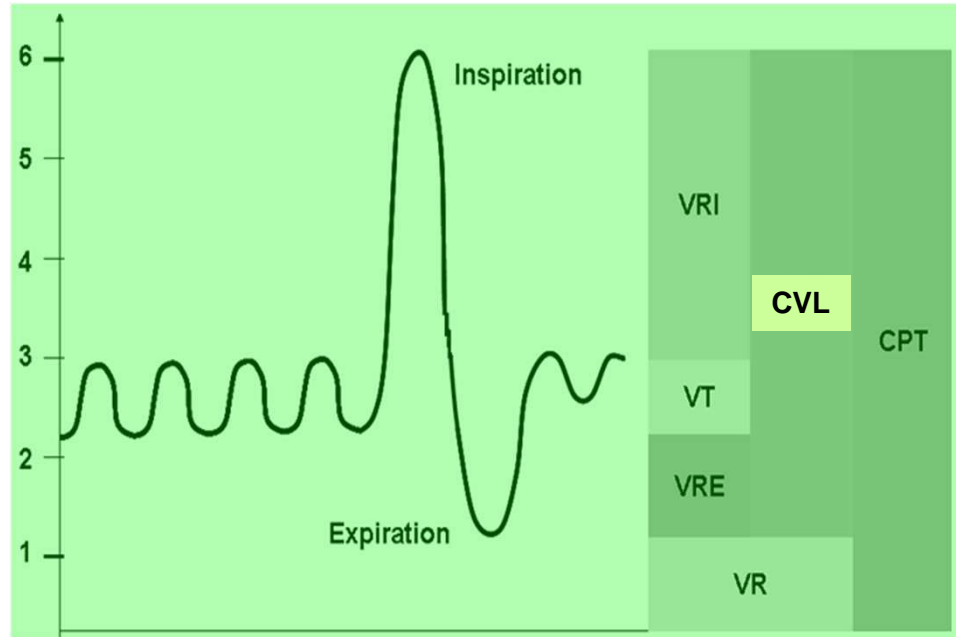
**A.T. Dinh-Xuan**  
**Service de Physiologie-Explorations Fonctionnelles**  
**Hôpital Cochin**





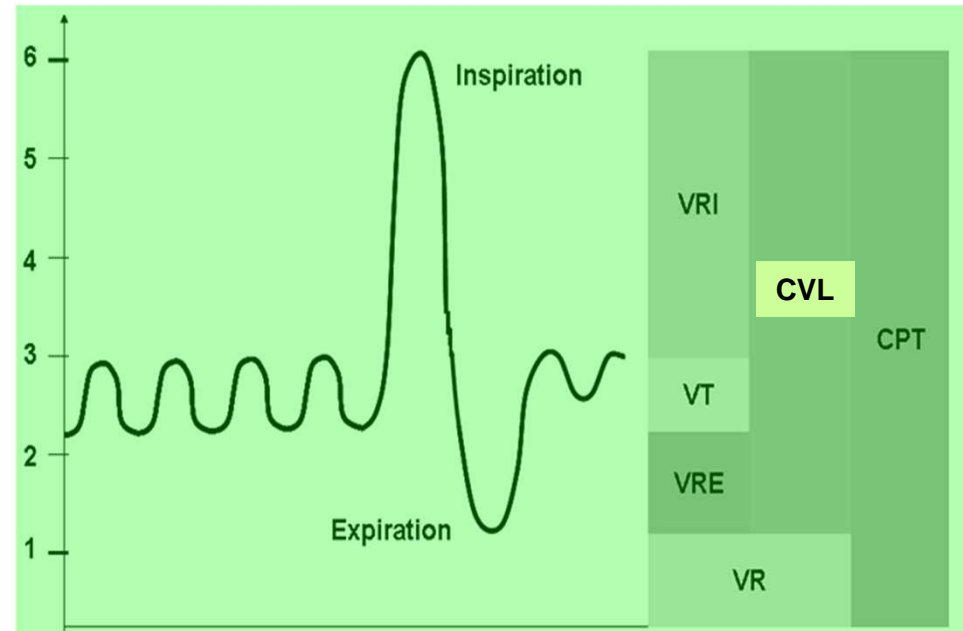
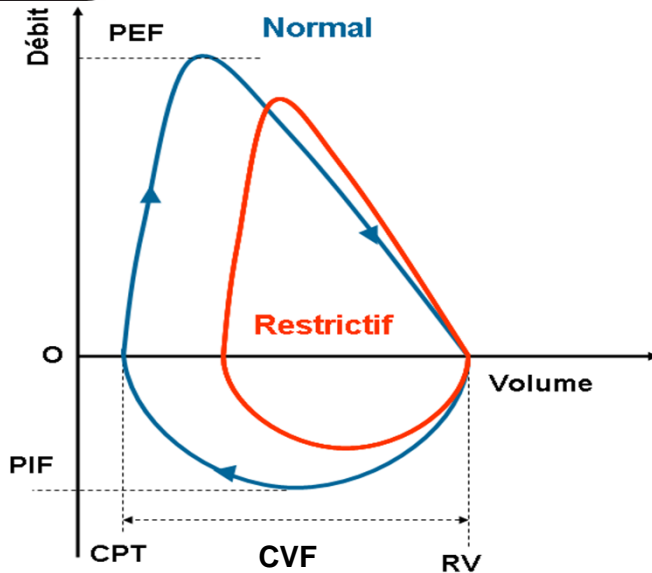


## Ventilation pulmonaire : Mesure des volumes





## Ventilation : Mesure des volumes pulmonaires et des débits respiratoires



**Capacité vitale:** tous les volumes mobilisables

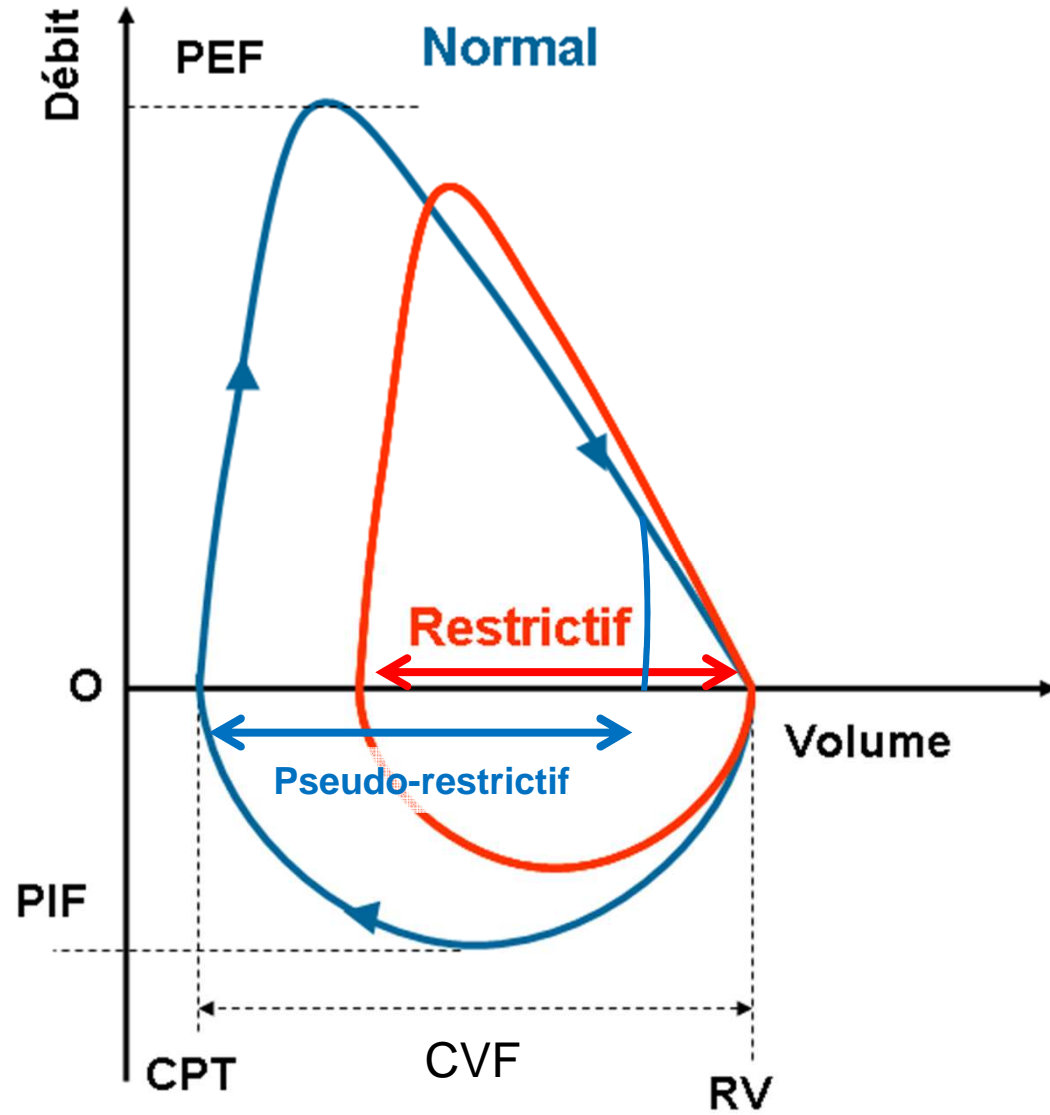
$$CV = VT + VRE + VRI$$

**CVF** est mesurée lors d'une expiration forcée (Courbe de débit-volume)

**Capacité pulmonaire totale**

$$CPT = CV + VR$$

**L'atteinte pulmonaire** dans la SSC est définie par un trouble ventilatoire **restrictif**  
CPT < 80% des valeurs théoriques (et/ou CVF < 80%)



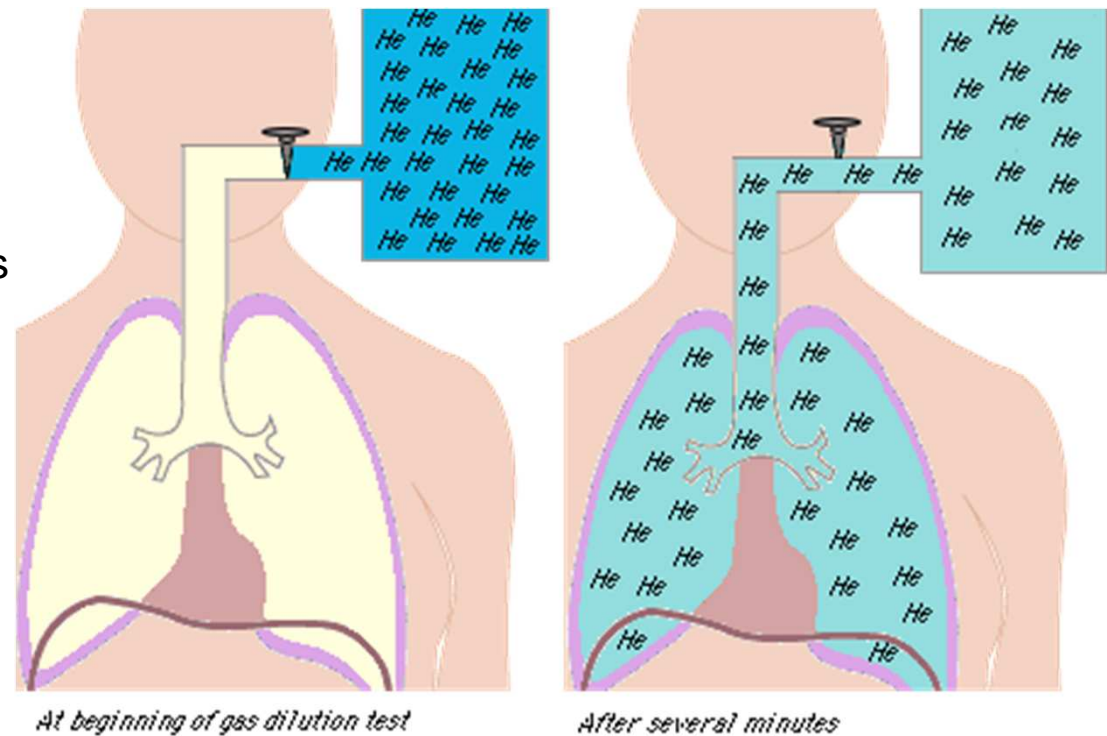


## Dilution à l'Hélium

**Capacité résiduelle fonctionnelle :**  
volume d'air restant dans les poumons  
à la fin d'une expiration normale.

$$CRF = VRE + VR$$

Pléthysmographie ou Dilution à  
l'Hélium



$$V_{\text{SPIR}} \cdot C_1 = V_x \cdot C_2 \quad V_x = VR + VRE$$

$$VR = \frac{V_{\text{SPIR}} \cdot C_1}{C_2} - VRE - V_{\text{SPIR}}$$

Méthode de dilution à l'hélium (gaz inerte)



## Pléthysmographie corporelle totale



### Pléthysmographie

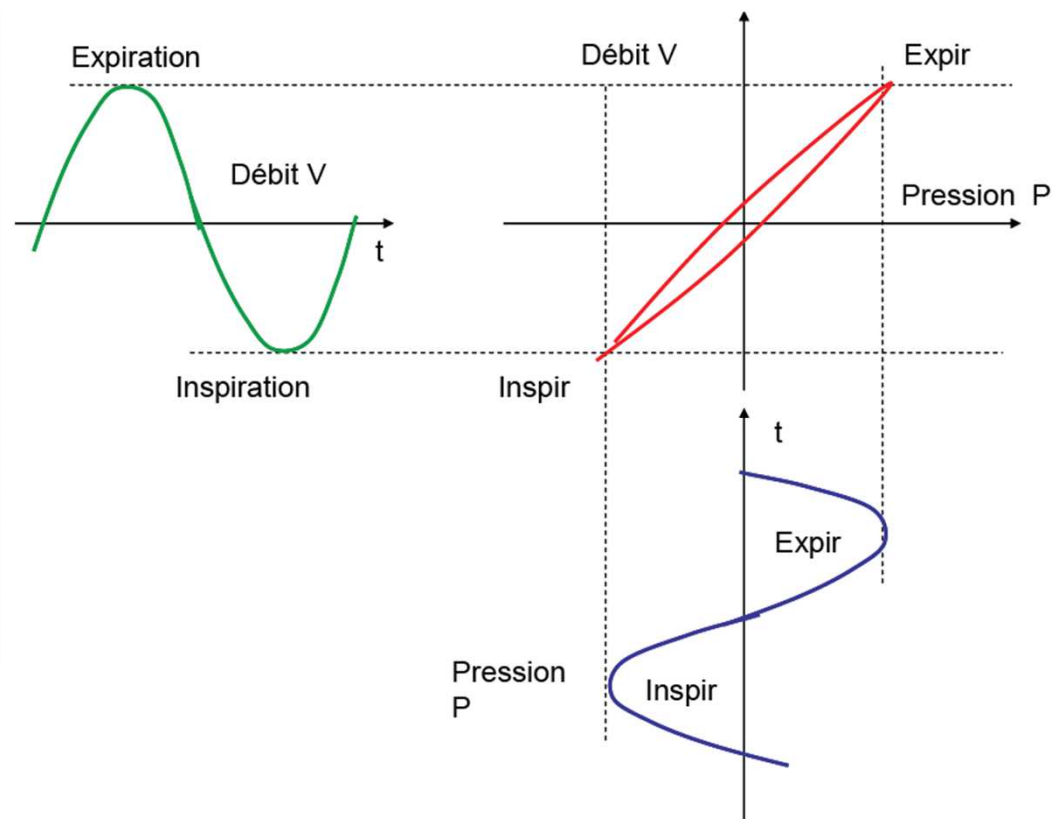
PV = Constant (Boyle)

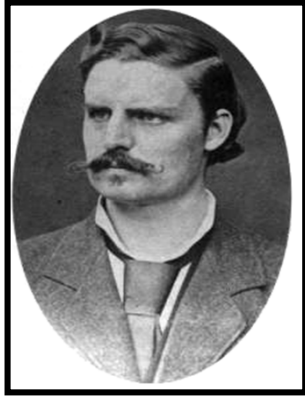
$$\rightarrow P_1 V_1 = P_2 V_2$$

$$\rightarrow \text{CRF} \cdot P_B = (\text{CRF} + \Delta V) \times (P_B + \Delta P)$$

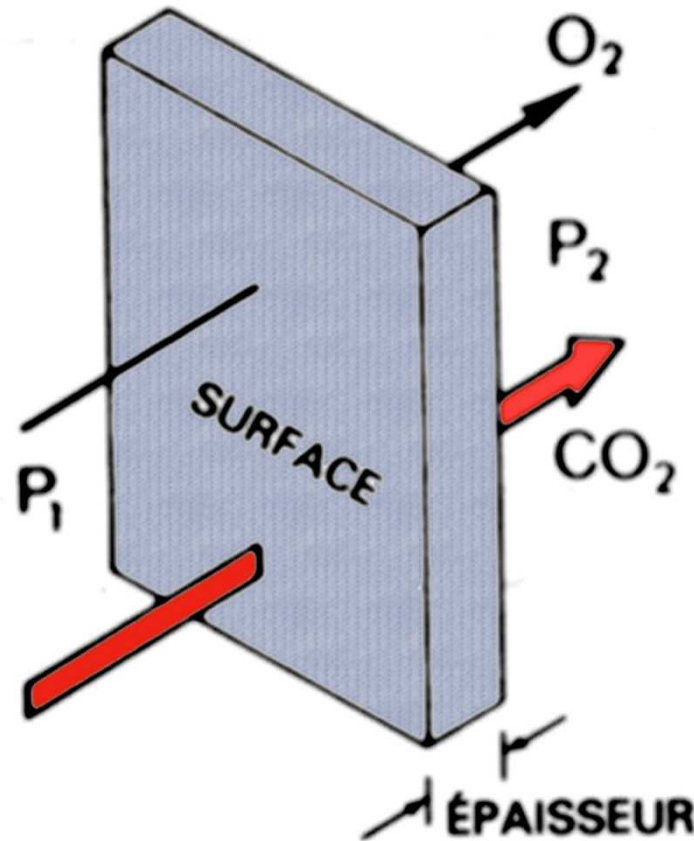
*Simplifié* :  $\text{CRF} = - (\Delta V / \Delta P) \times (P_B + \Delta P)$

$\Delta V / \Delta P$  : pente de la courbe Pression/Volume = Compliance pulmonaire





**Adolf Eugene FICK**  
(1829 -1901)

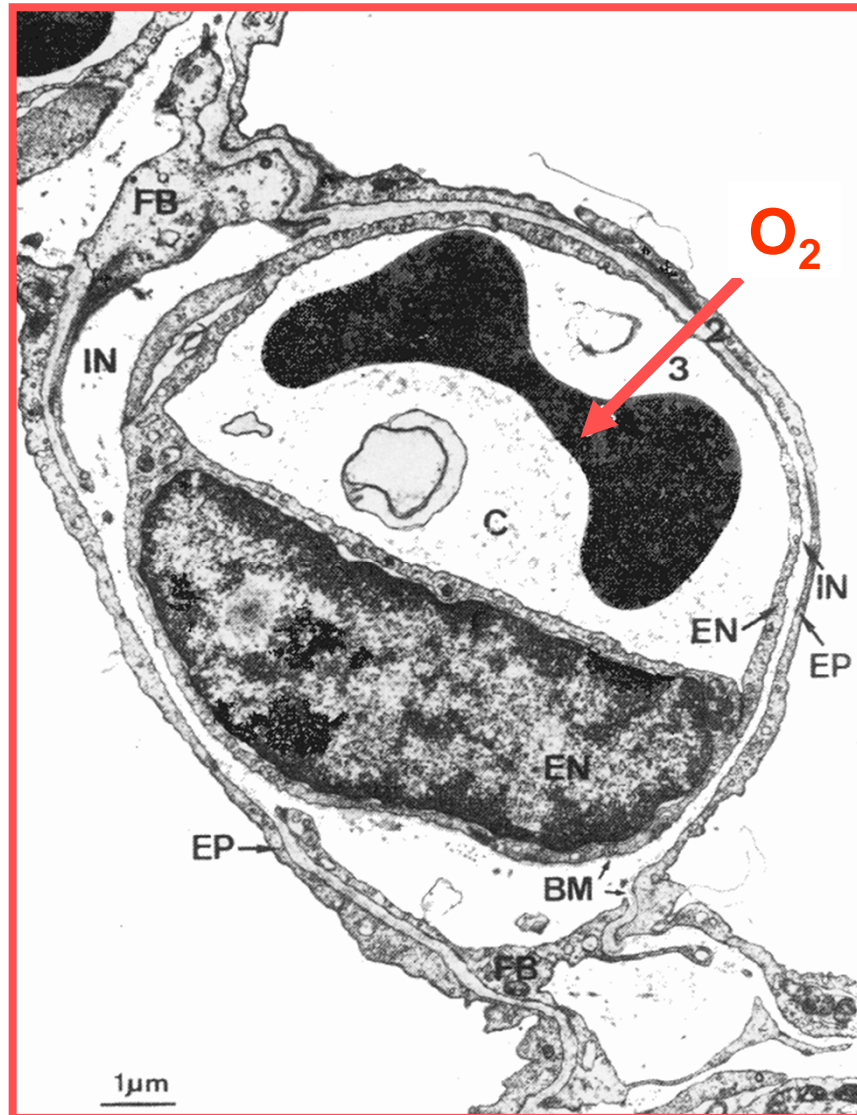


Tous les gaz passent à travers la paroi alvéolaire par **diffusion passive**.

Le débit de transfert d'un gaz à travers une couche de tissu (Loi de Fick) est :

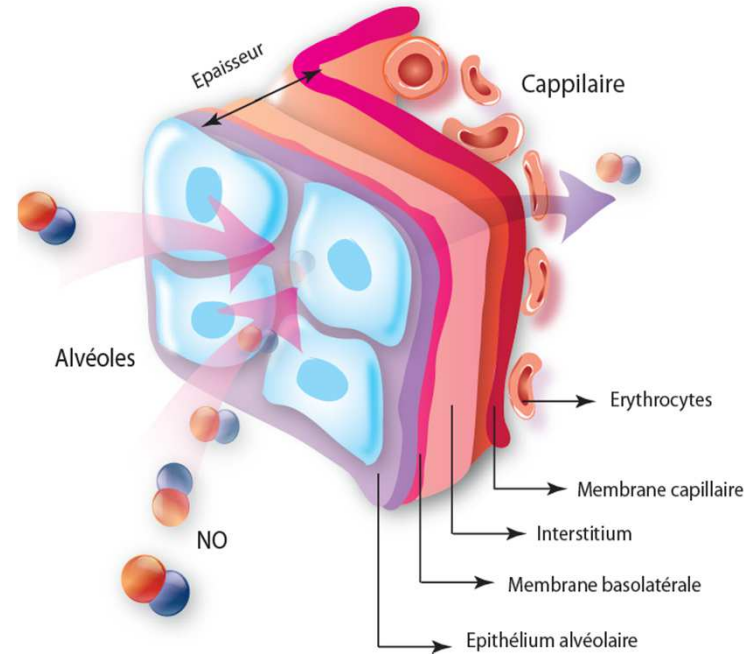
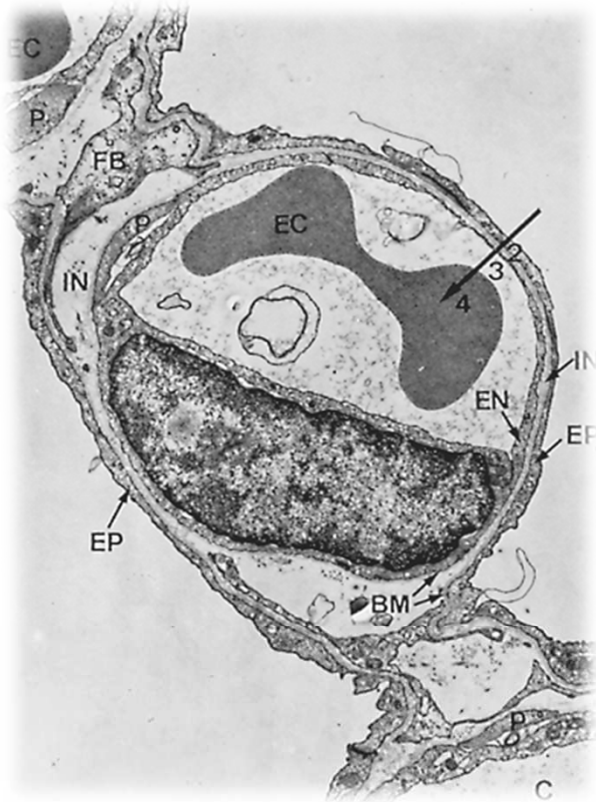
1. proportionnel à la **surface** du tissu
2. proportionnel à la **différence de pression** partielle du gaz de part et d'autre de la barrière alvéolo-capillaire
3. proportionnel à la **solubilité** du gaz
4. inversement proportionnel à l'**épaisseur** du tissu
5. inversement proportionnel à son **poids moléculaire**

# La barrière alvéolo-capillaire

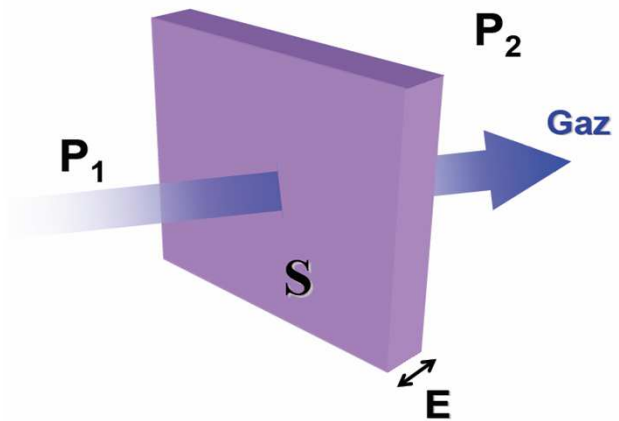


1. Surfactant
2. Épithélium alvéolaire
3. Espace interstitiel
4. Endothélium capillaire
5. Plasma (du capillaire pulmonaire)
6. Milieu intérieur du globule rouge
7. Hémoglobine





**La loi de Fick**



$$\dot{V}_{\text{gaz}} \propto \frac{S}{E} \cdot D \cdot \Delta P$$

$$D \propto \frac{\text{Sol}}{\sqrt{PM}}$$

# Diffusion

$$\dot{V}_{\text{gaz}} = \frac{S}{E} \times \Delta P \times D$$

$$D \approx \frac{\text{Sol}}{\sqrt{PM}}$$

$$\dot{V}_{\text{gaz}} = D_{L,\text{gaz}} \times \Delta P$$

$$D_{L,\text{gaz}} = \frac{S}{E} \times D$$

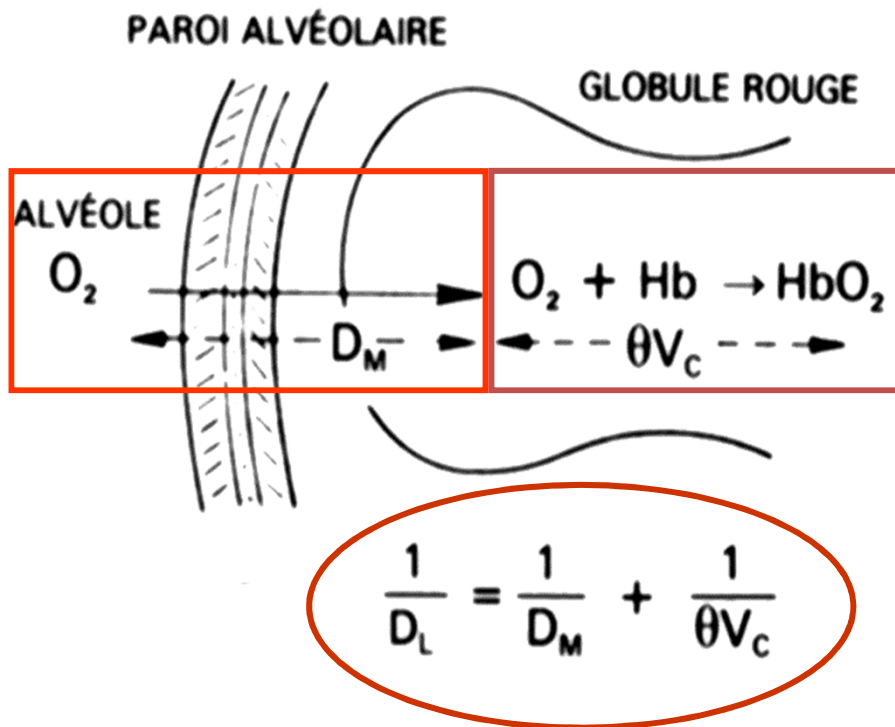
$$D_{L,\text{gaz}} = \frac{\dot{V}_{\text{gaz}}}{\Delta P}$$

$$R = \frac{\Delta P}{\dot{V}_{\text{gaz}}}$$

$D_{L,\text{gaz}}$  est l'expression de l'inverse d'une résistance

## Résistance globale à la diffusion

La diffusion de l'O<sub>2</sub> de l'alvéole à l'hémoglobine peut être considéré en 2 étapes :



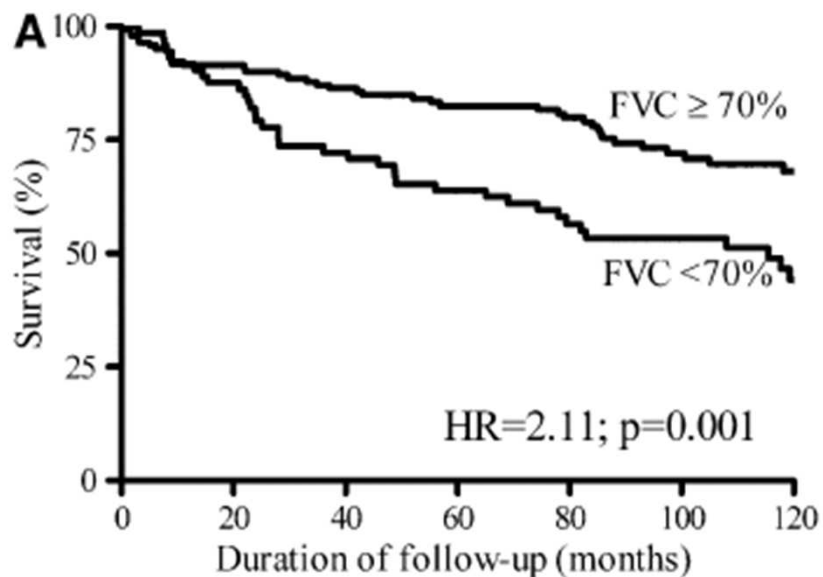
1. Diffusion de l'O<sub>2</sub> à travers la barrière alvéolo-capillaire caractérisée par le facteur membranaire ( $D_M$ )

2. Combinaison de l'O<sub>2</sub> avec l'Hb, caractérisée par la vitesse de liaison de l'O<sub>2</sub> à l'Hb ( $\theta$ ) multiplié par le volume capillaire pulmonaire ( $V_c$ )

La résistance globale à la diffusion est égale à la somme des deux résistances correspondantes.



## Trouble restrictif et CVF



Goh NS, Desai SR et col.

Am J Respir Crit Care Med. 2008 Jun 1;177(11):1248-54

## Patterns of pulmonary function in smoking and nonsmoking patients with progressive systemic sclerosis

Silvia A. Quadrelli · Luciana Molinari ·  
Lorena M. Ciallella · Martin Bosio · Alejandro Salvado

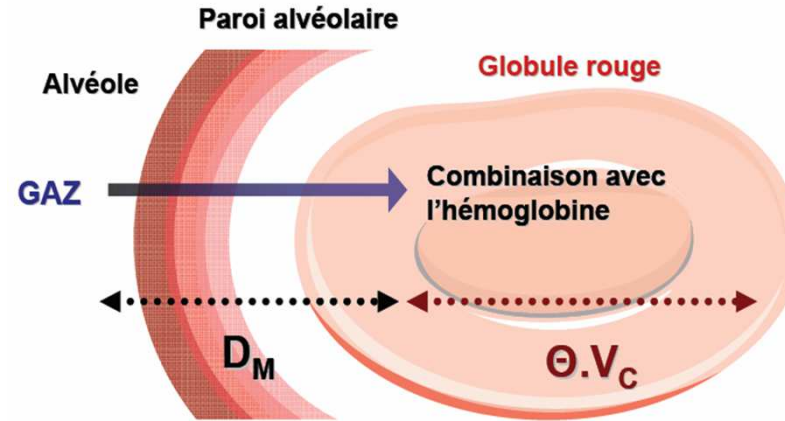
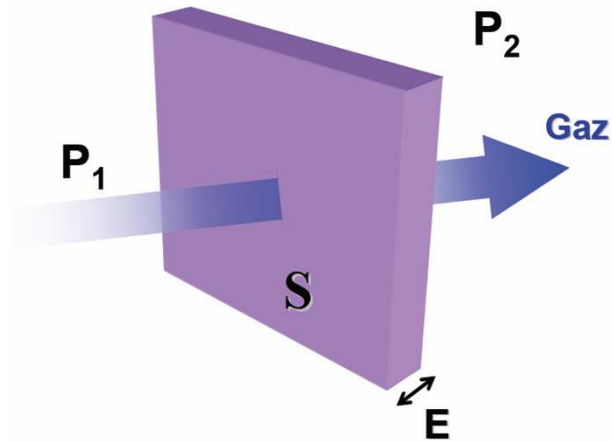
Item	Smokers (n = 12)	Nonsmokers (n = 34)	P
Age	53.92 $\pm$ 13.7	50.24 $\pm$ 12	0.383
FVC (% predicted)	78.26 $\pm$ 18.2	83.83 $\pm$ 15.3	0.350
FEV1 (% predicted)	83.91 $\pm$ 21.4	84.33 $\pm$ 14.4	0.950
FEV1/FVC (% predicted)	82.10 $\pm$ 6.8	78.83 $\pm$ 16.9	0.373
TLC (% predicted)	84.12 $\pm$ 21.3	97.18 $\pm$ 15.2	0.036
RV/TLC (% predicted)	37.44 $\pm$ 8.4	48.18 $\pm$ 16.3	0.011
DLCO (% predicted)	73.67 $\pm$ 21.3	79.92 $\pm$ 19.2	0.268

Rheumatol Int. 2009 (E-pub)



## Diffusion alvéolo-capillaire DLCO et ses composantes

La loi de Fick



$$\frac{1}{D_L} = \frac{1}{D_M} + \frac{1}{\theta \cdot V_C}$$

Débit de gaz diffusé  $\dot{V} = DL \times \Delta P$

Où  $DL \propto \frac{S}{E} \times \frac{Sol}{\sqrt{Pm}}$

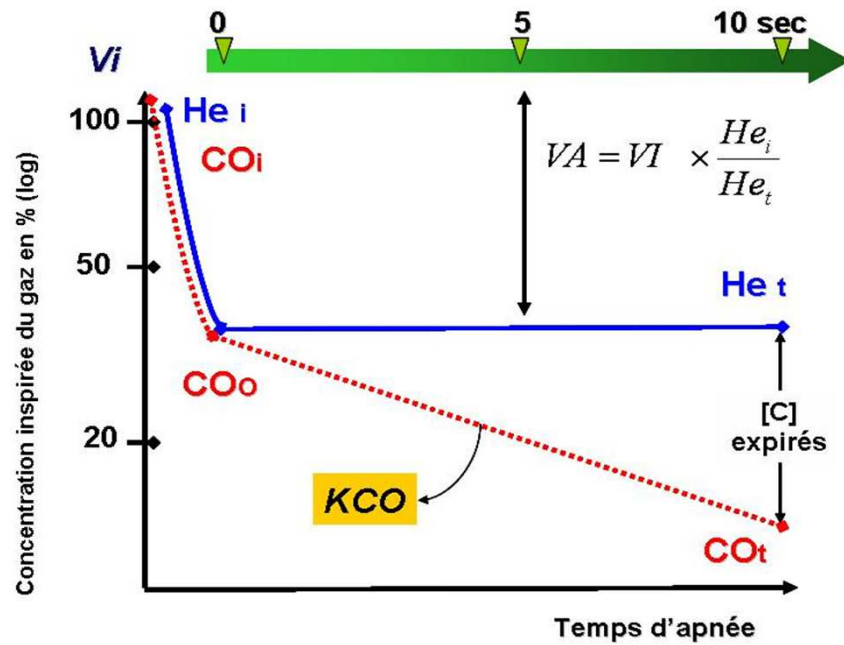
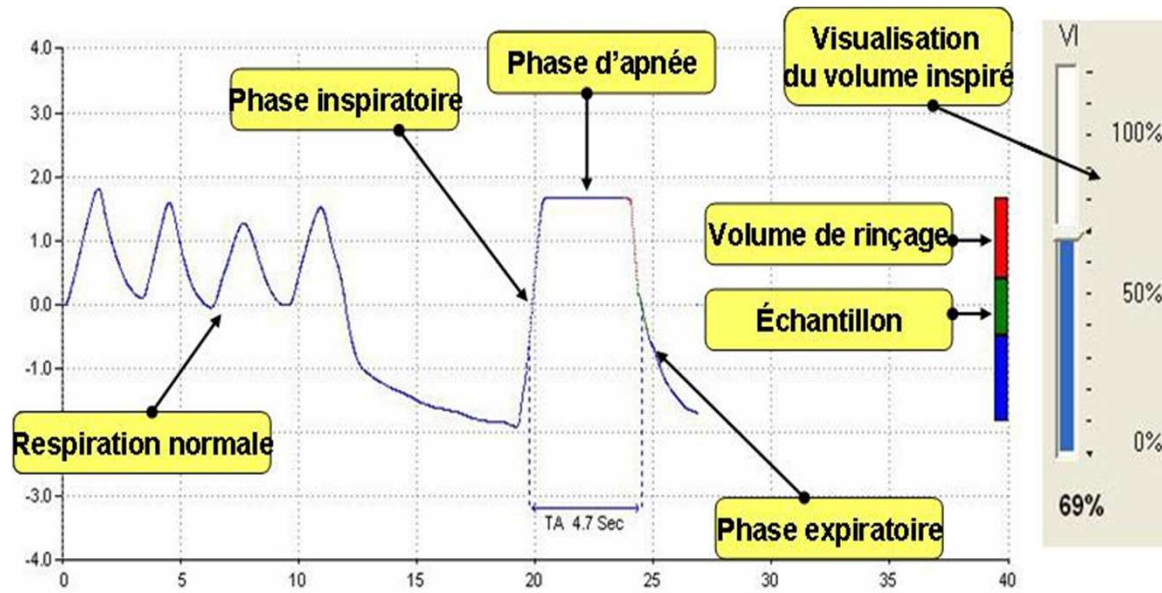
$$\text{Capacité de diffusion } DL = \frac{\dot{V}}{\Delta P}$$

**DL** - Capacité de diffusion pour un gaz

**Dm** - Conductance membranaire

**Théta** - Vitesse de capture spécifique par l'hémoglobine

**Vc** - Volume capillaire



**$DLCO = KCO \times VA$**



## Dm et Vc

$$\text{CO} \quad \frac{1}{DLCO} = \frac{1}{DmCO} + \frac{1}{\theta_{CO} \times Vc}$$

$$\text{NO} \quad \frac{1}{DLNO} = \frac{1}{DmNO} + \cancel{\frac{1}{\theta_{NO} \times Vc}}$$

$$\Rightarrow DLNO = DmNO$$

*Affinité et vitesse de réaction*

$NO-Hb \gg CO-Hb$

$$\Rightarrow \frac{1}{\theta_{NO}} \gg \frac{1}{\theta_{CO}}$$

$$\text{CO} \quad DmCO = \frac{S}{E} \times \frac{\alpha_{CO}}{\sqrt{PmCO}}$$

$$\text{NO} \quad DmNO = \frac{S}{E} \times \frac{\alpha_{NO}}{\sqrt{PmNO}}$$

$$\Rightarrow \frac{DmNO}{DmCO} = \sqrt{\frac{PmCO}{PmNO}} \times \frac{\alpha_{NO}}{\alpha_{CO}}$$

coefficient  $a \approx 1,97$

$$DLNO = DmNO = DmCO \times a$$

**Dm**

$$DLNO = DmCO \times a$$

$$\Rightarrow DmCO = \frac{DLNO}{a}$$

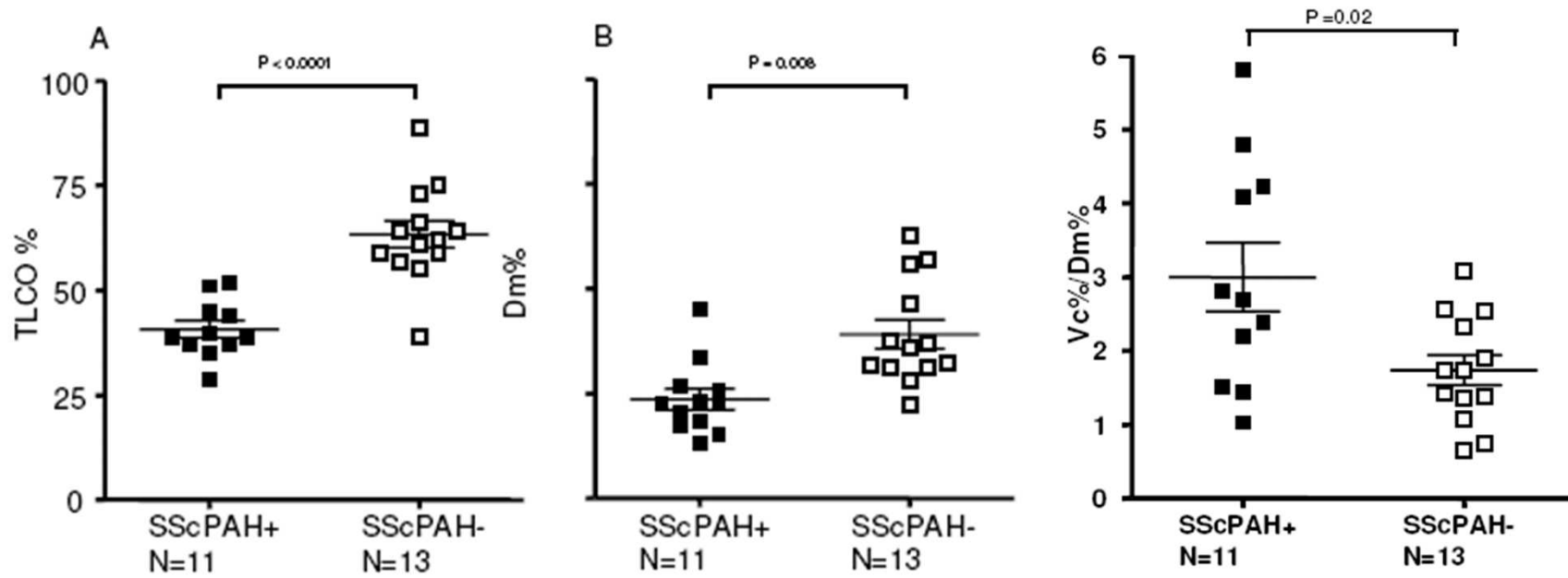
**Vc**

$$\frac{1}{DLCO} = \frac{1}{DmCO} + \frac{1}{\theta_{CO} \times Vc}$$

$$\Rightarrow Vc = \frac{1}{\left[ \frac{\theta_{CO}}{DLCO} - \frac{\theta_{CO}}{DmCO} \right]}$$



## Dm et Vc



Overbeek MJ et col.

Respir Res. 2008 Oct 1;9:68



## Test de marche de 6 minutes

### Paramètres

Distance parcourue en 6 minutes

Saturation en O<sub>2</sub>  
(capteur frontal / Syndrome de Raynaud)

Niveau de dyspnée: Indice de Borg

± gaz du sang : PaO<sub>2</sub>, lactate,...

Variables	Résultats
Distance parcourue (Médian) m	450 (150–660)
Patients dont la Distance < 400 m, No.(%)	31 (28%)
Patients avec une désaturation ≥ 4%, No. (%)	31 (28)
% de désaturation moyenne chez les patients avec ΔSat ≥ 4%	6,87 %
% de désaturation moyenne chez les patients avec ΔSat ≥ 4%	0,57 %





### 3. EXERCISE VARIABLES AND THEIR REPRODUCIBILITY IN PATIENTS WITH CT FEATURES TYPICAL OF IPF

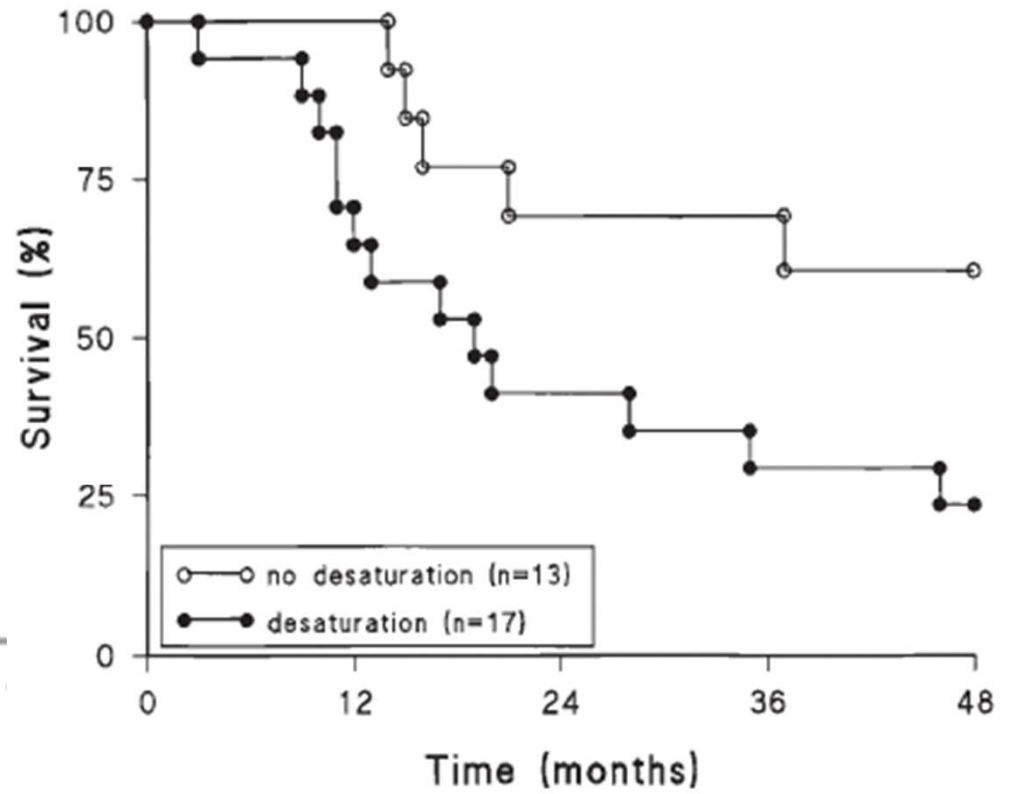
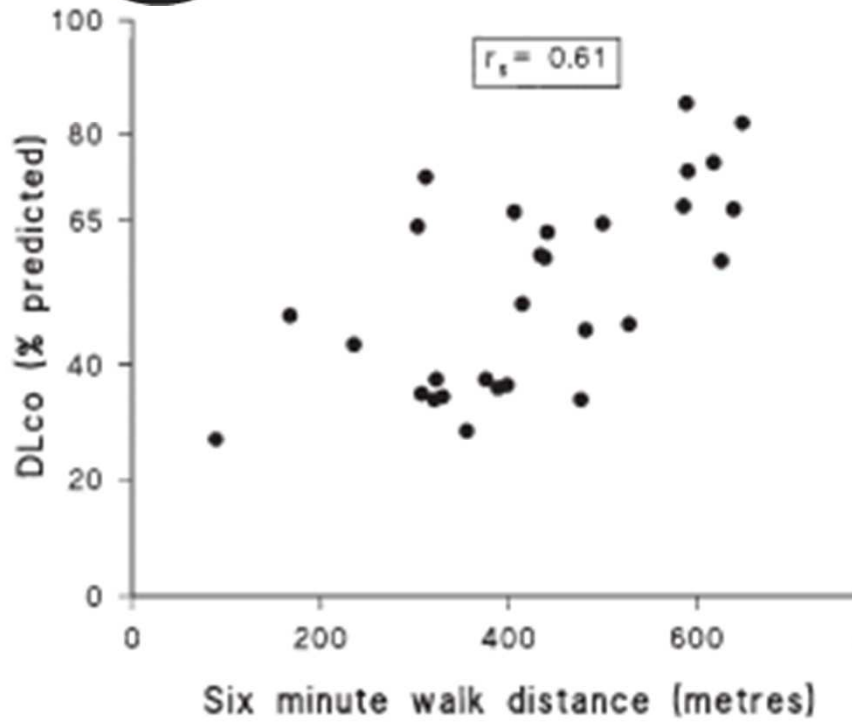
	Exercise Indices Given as Mean (SD) Values	$SD_{diff}$	$SD_{diff}/\text{Mean Value}$ (%)
6-Minute walk (n = 17)			
Resting Borg dyspnea score*	0 (0–3.5)	$K_w = 0.73^\dagger$	NA
Post-Borg dyspnea score*	3.2 (1.7)	$K_w = 0.82^\dagger$	NA
Distance, m	398.9 (136.5)	16.5	4.1
O <sub>2</sub> desaturation	10.4 (5.2)	2.6	25.0
Desaturation to 88% or lower	NA	$K = 1.00^*$	NA
Maximal exercise testing (n = 13)			
Vo <sub>2</sub> max, % pred	59.5 (21.1)	7.2	12.1
Post-Borg dyspnea score*	3.6 (2.5)	$K_w = 0.81^\dagger$	NA
O <sub>2</sub> desaturation	9.3 (4.6)	2.8	30.1
O <sub>2</sub> desaturation, adjusted for Vo <sub>2</sub> max	17.1 (10.3)	6.9	40.4

*Definition of abbreviations:* CT = computed tomography; IPF = idiopathic pulmonary fibrosis; K = nonweighted  $\kappa$  coefficient of agreement;  $K_w$  = weighted  $\kappa$  coefficient of agreement; NA = not applicable;  $SD_{diff}$  = SD of differences between measurements.

Variables are expressed as the mean of two measurements, the  $SD_{diff}$  between the two measurements, given as absolute values and as percentages of the mean of the two measurements in 17 patients with high-resolution computed tomography appearances typical of idiopathic pulmonary fibrosis.

\* The reproducibility of desaturation to 88% or lower during the 6-minute walk is stated as the (nonweighted)  $\kappa$  coefficient of agreement (K).

†The reproducibility of Borg dyspnea scores is stated as the weighted  $\kappa$  coefficient of agreement ( $K_w$ ).



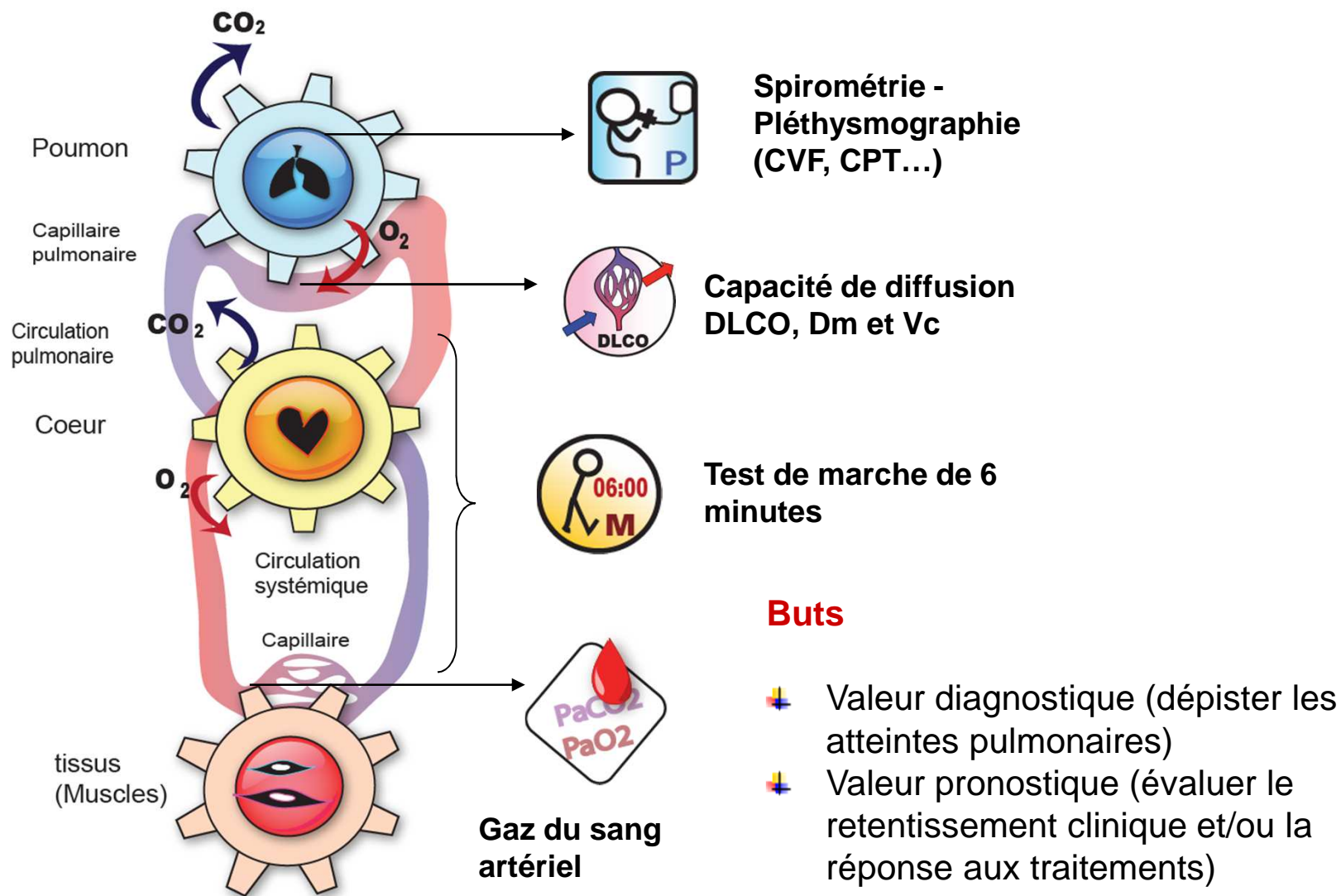
Eaton et al. Am J Respir Crit Care Med 2005; 171: 1150-7.



Variables	Walk Distance p Value	ΔSat p Value
Sexe	0.34	1.00
Race	0.72	0.34
Age	<b>0.008*</b>	<b>0.02*</b>
Durée de la maladie	0.84	0.95
Anticorps Antinucléaires	0.11	0.21
Anti-Scl-70	0.20	<b>&lt; 0.001*</b>
Dyspnée	<b>0.003*</b>	<b>&lt; 0.001*</b>
Radio thoracique (fibrose)	<b>0.05*</b>	<b>&lt; 0.001*</b>
CVF < 80%	0.15	<b>&lt; 0.001*</b>
CT ground-glass opacity	0.88	0.02*
PASP	<b>0.036*</b>	0.01*
Désaturation	<b>&lt; 0.001*</b>	-
Distance	-	<b>&lt; 0.001*</b>

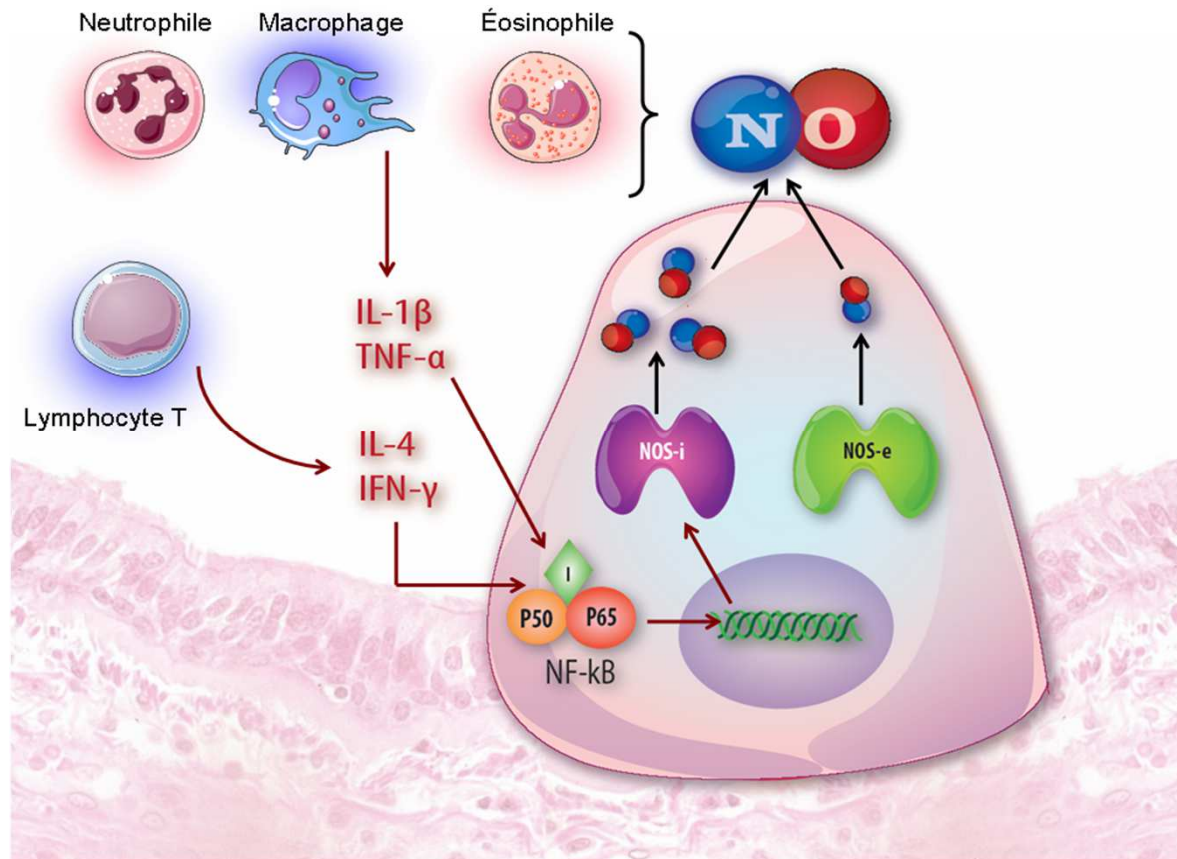
Six-minute walk test for the evaluation of pulmonary disease severity in scleroderma patients.

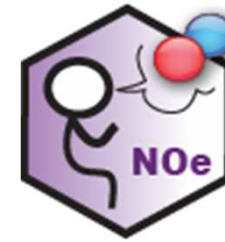
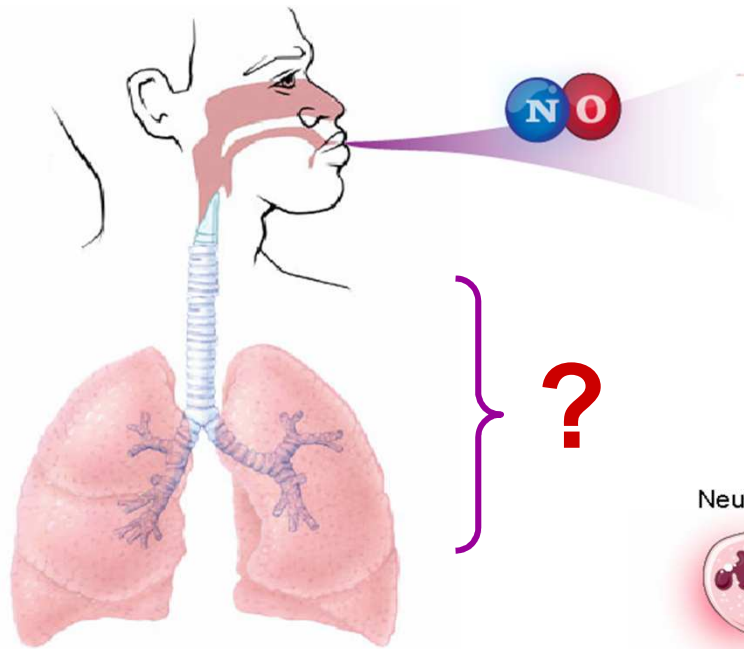
## Pourquoi explorer ?



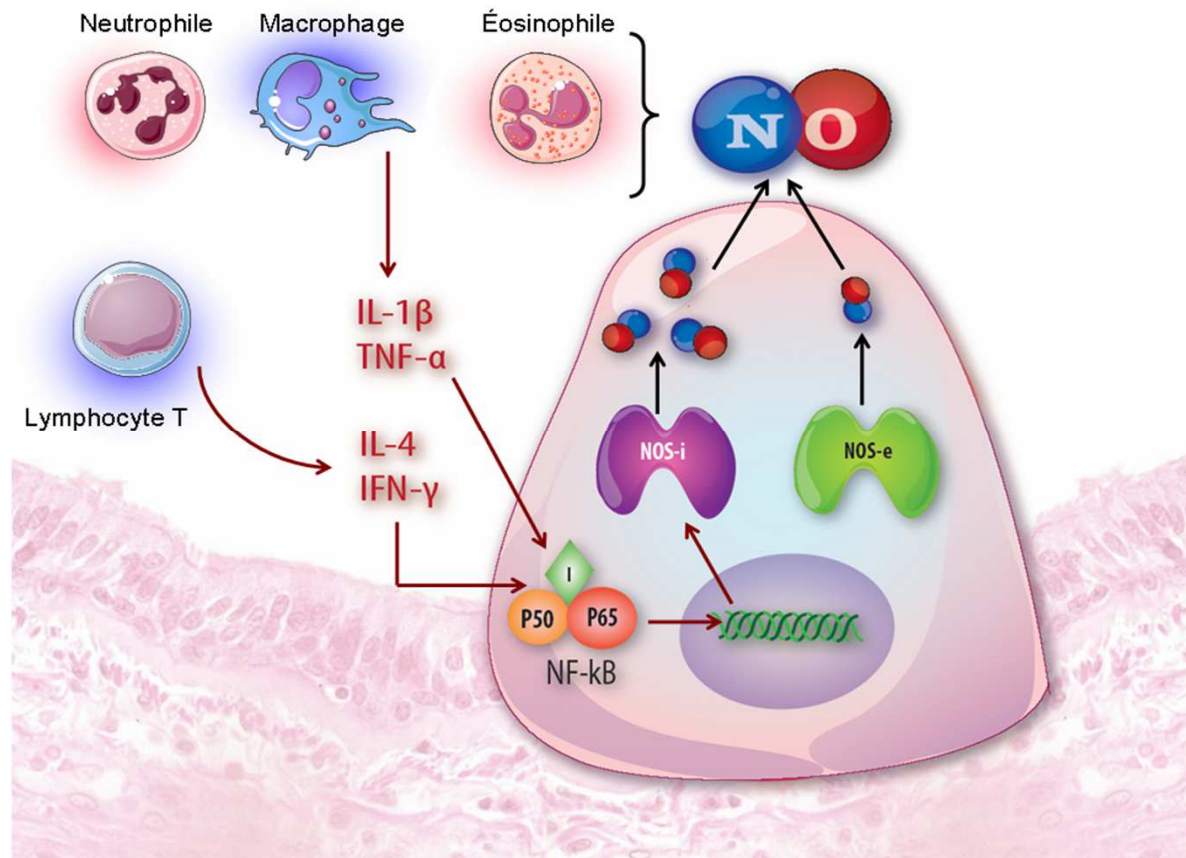


## Evaluation de l'état inflammatoire : par la mesure du NO exhalé





## Evaluation de l'état inflammatoire : Par NO exhalé





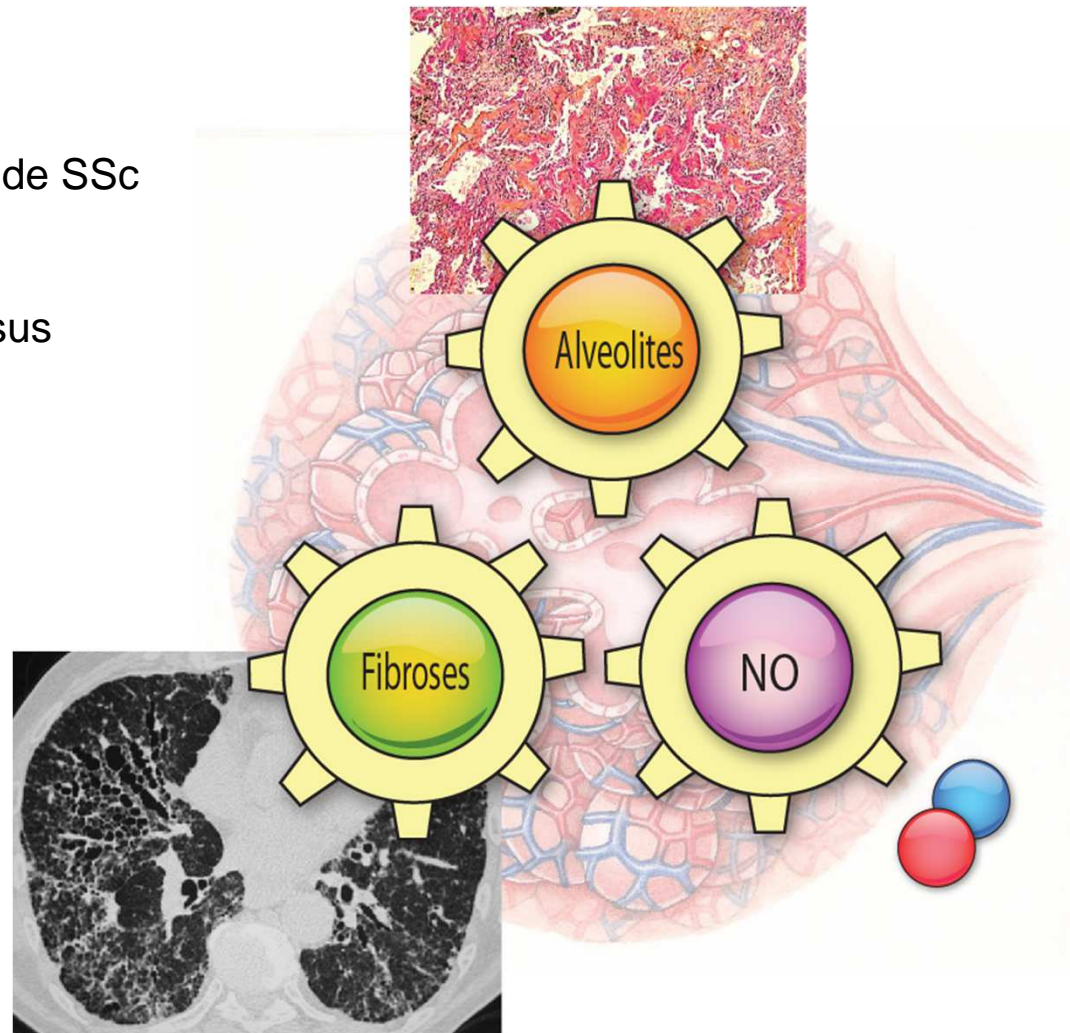
## Evaluation de l'état inflammatoire : par la mesure du NO exhalé

**Physiopathologie** de SSc

### Inflammation

Destruction des tissus

Fibroses





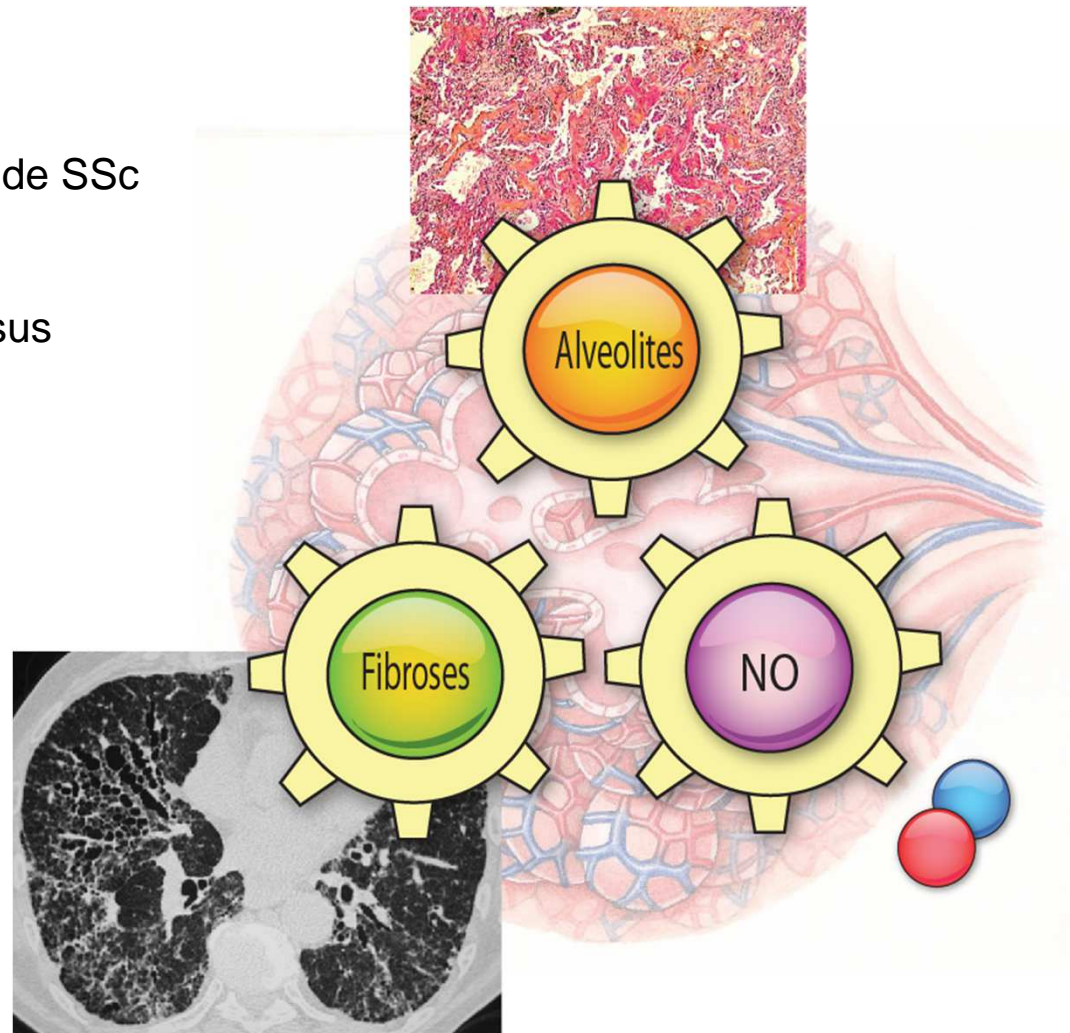
## Evaluation de l'état inflammatoire par la mesure du NO exhalé

**Physiopathologie** de SSc

### Inflammation

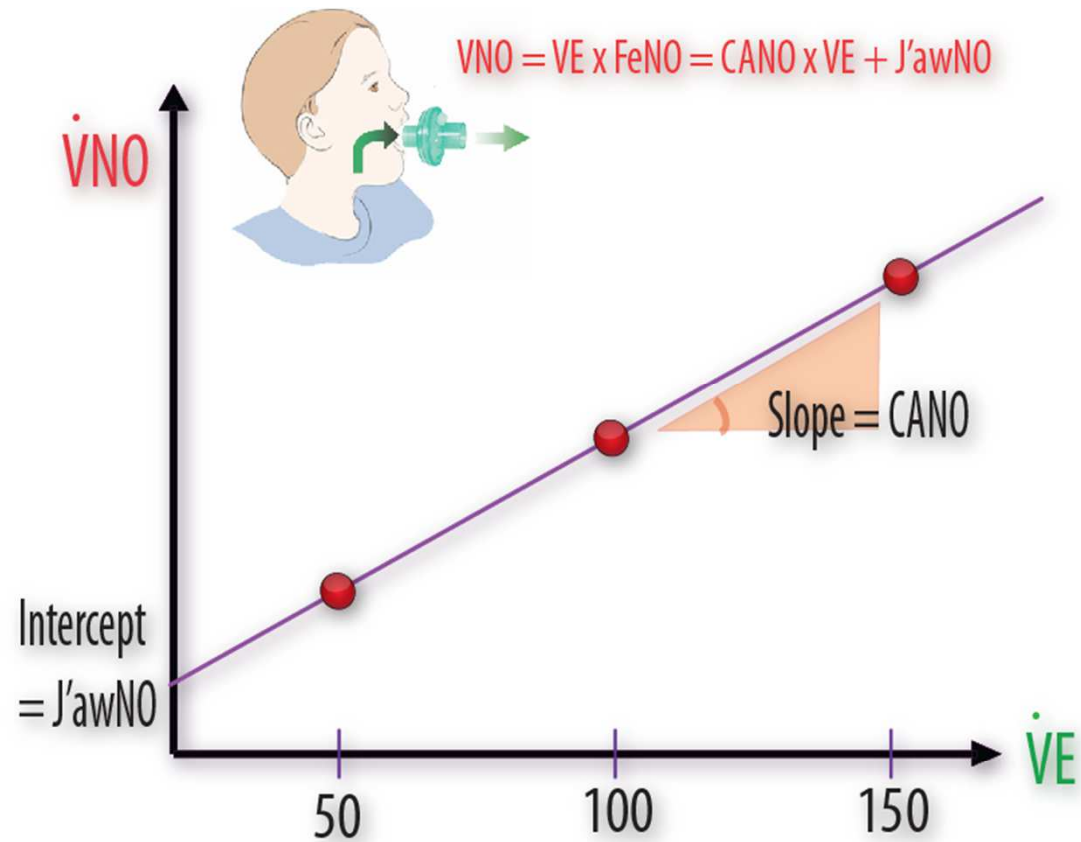
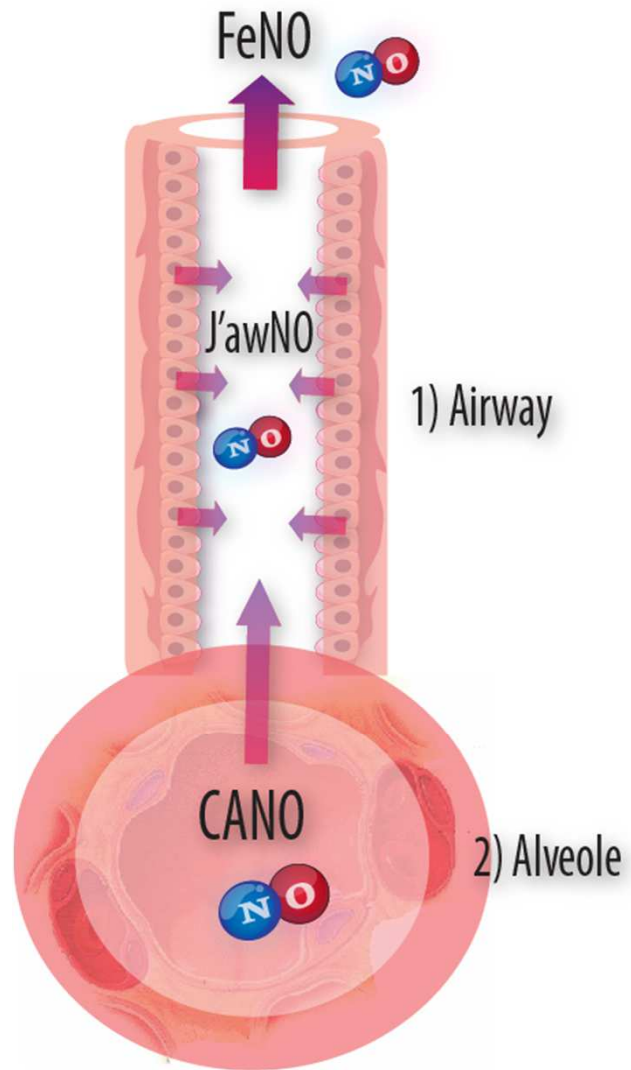
Destruction des tissus

Fibroses



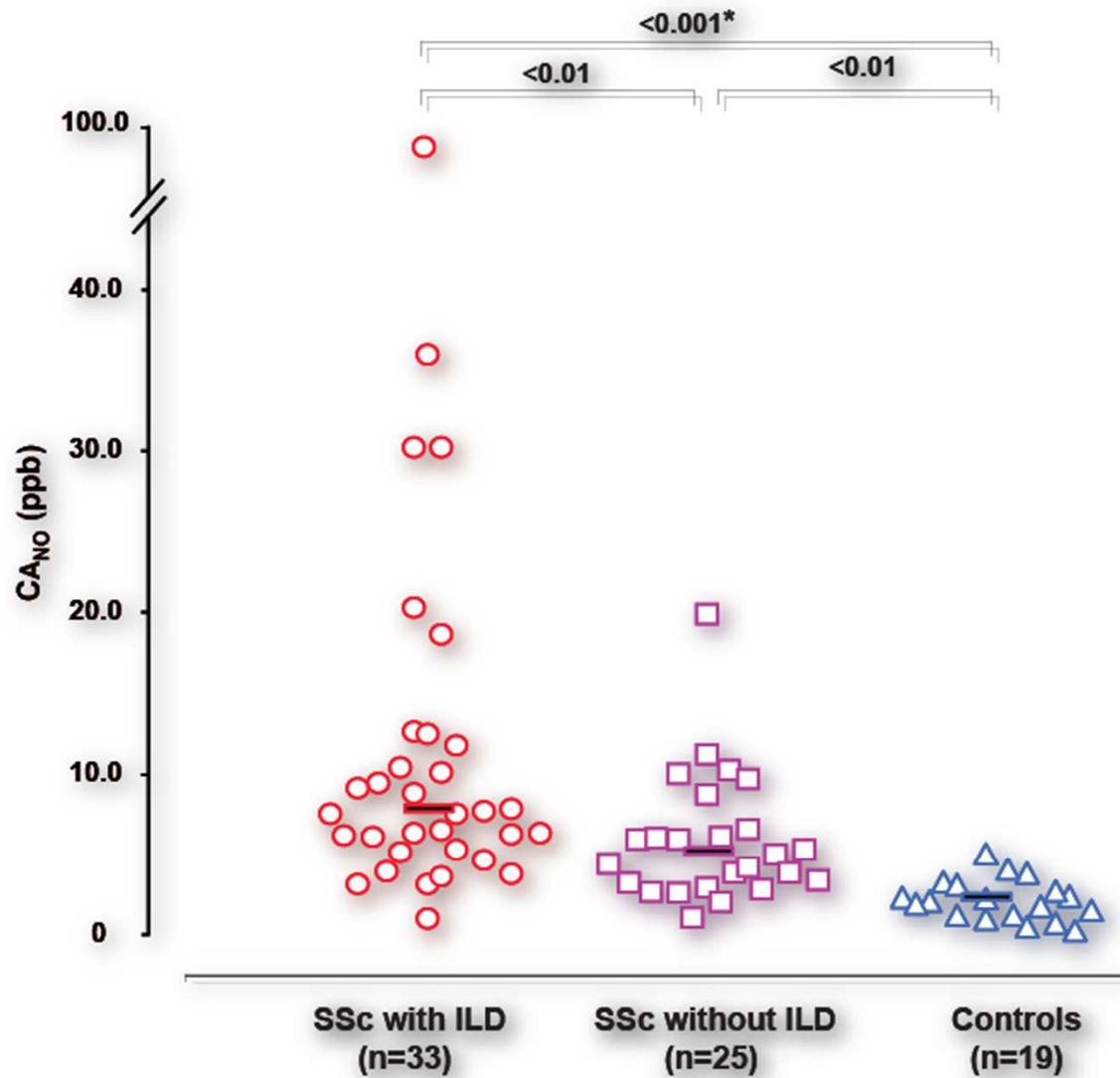


## Modèle de 2 compartiments



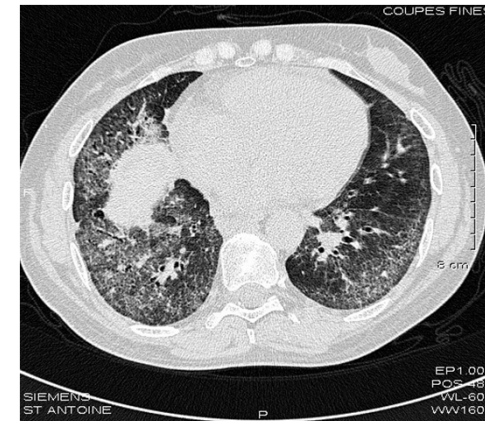
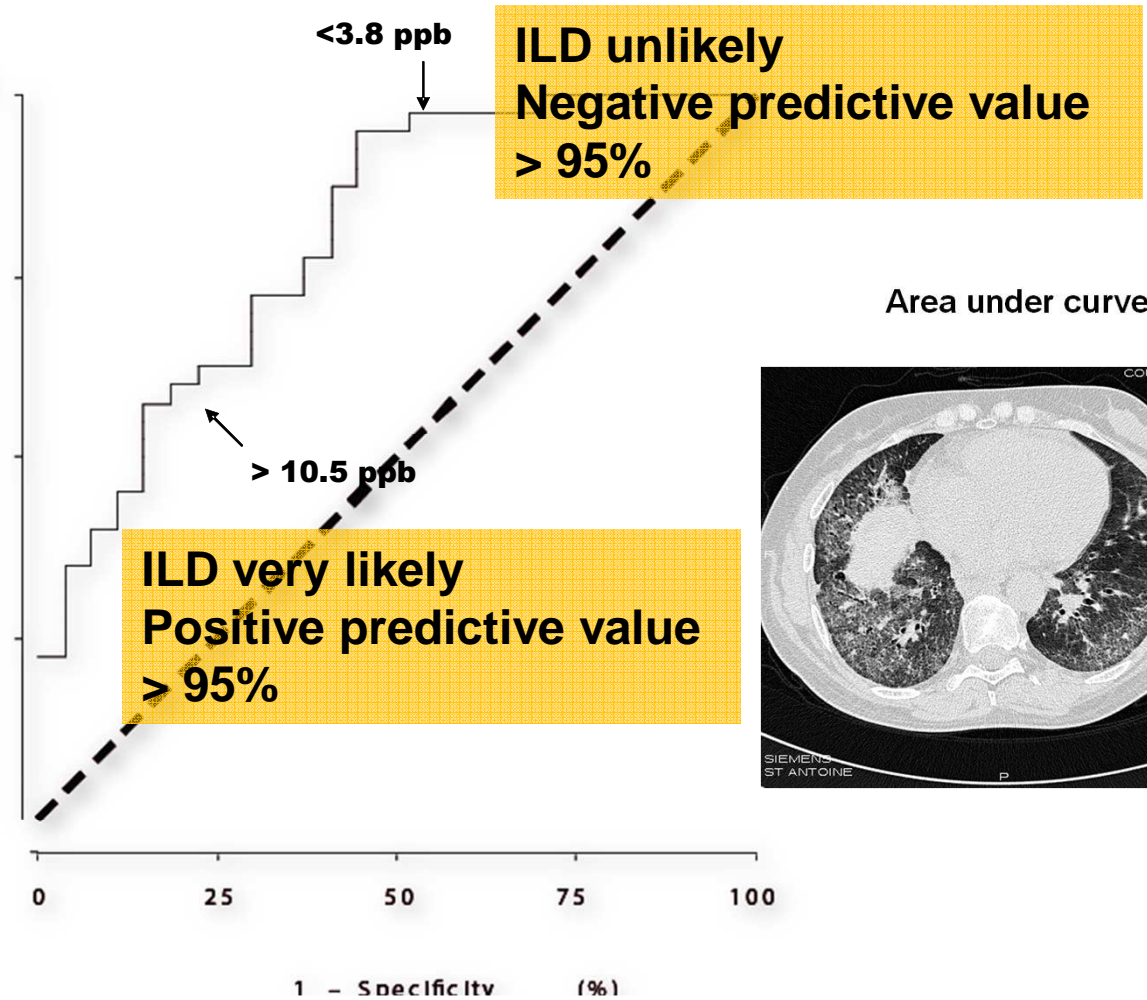
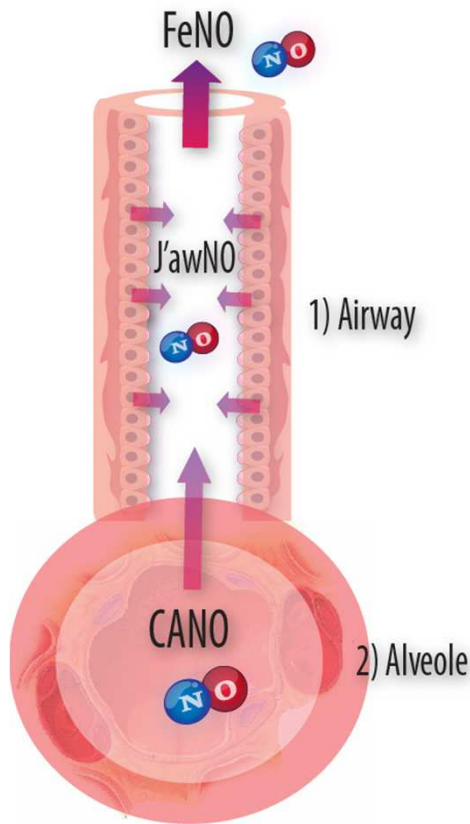
Tsoukias & George. JAP 1998; 85: 653-66.





Tiev et al. Eur Respir J 2007; 30: 26-30





Tiev et al. Sarcoidosis Vasc Diffuse Lung Dis 2009; 26: 32-8.



# Cytokines involved in scleroderma ILD

**Lymphocyte**

**IL-2**

**IL-4**

**IL-5**

**INF- $\gamma$**

**Macrophage**

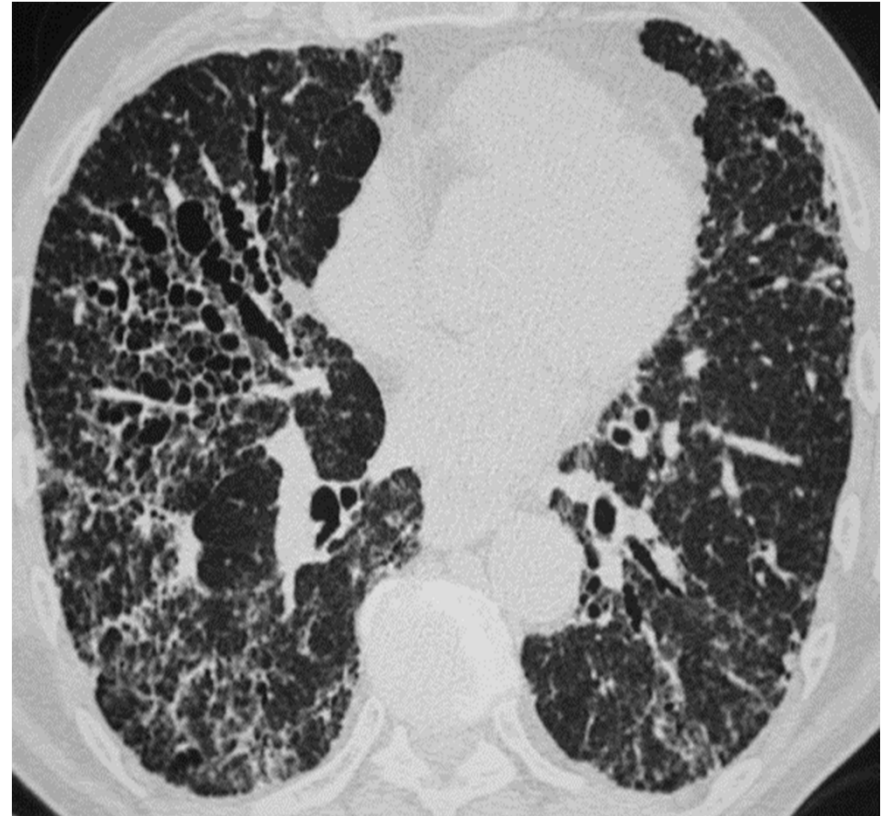
**IL-8**

**TNF- $\alpha$**

**Fibronectine**

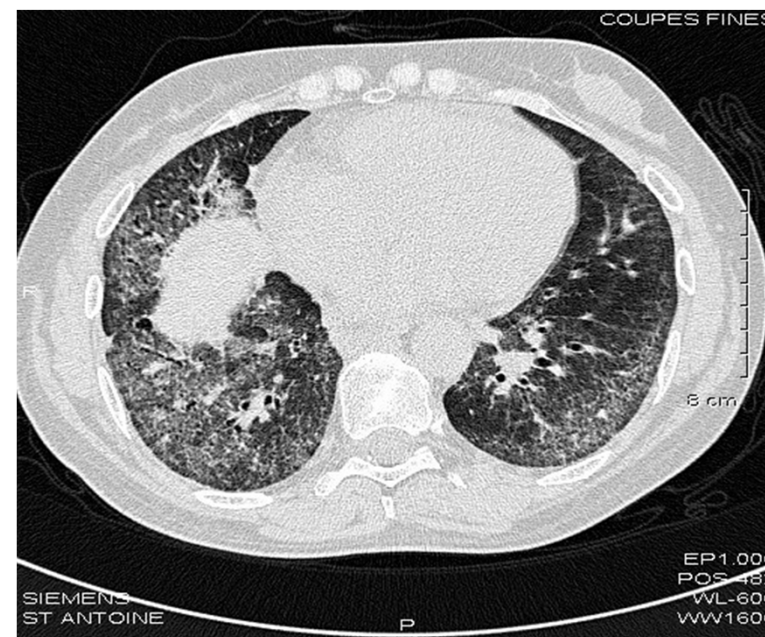
**PDGF, IGF-1**

**TGF- $\beta$**

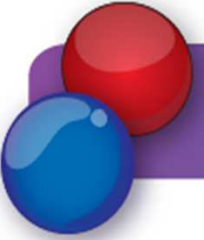


# Results

<b>C<sub>A</sub>NO and TLC</b>	<b>- 0.37</b>	<b>p&lt;0.01</b>
<b>C<sub>A</sub> NO and DLCO</b>	<b>- 0.34</b>	<b>p&lt;0.01</b>
<b>C<sub>A</sub> NO and lung fibrosis Score</b>	<b>0.39</b>	<b>p&lt;0.01</b>

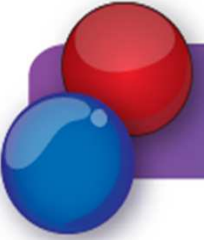


Tiev et al. Eur Respir J 2007; 30: 26-30.



## Interim conclusion

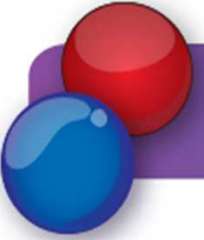
- Increased alveolar concentration of nitric oxide ( $C_{ANO}$ ) is **related to the severity** of interstitial lung disease (ILD) in systemic sclerosis (SSc).
- However, cutoff levels of  $C_{ANO}$  to rule in, or to rule out, the presence of ILD in individual patients are unknown.



## Subjects & Methods

- **Sera** from 40 SSc patients and 10 healthy controls.
- **Pulmonary fibroblast proliferation** was assessed by BrdU labeling index at 72h of culture.
- **Myofibroblast conversion** was detected by  $\alpha$ -smooth muscle actin expression.

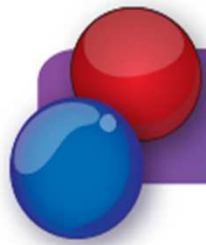




## Subjects & Methods

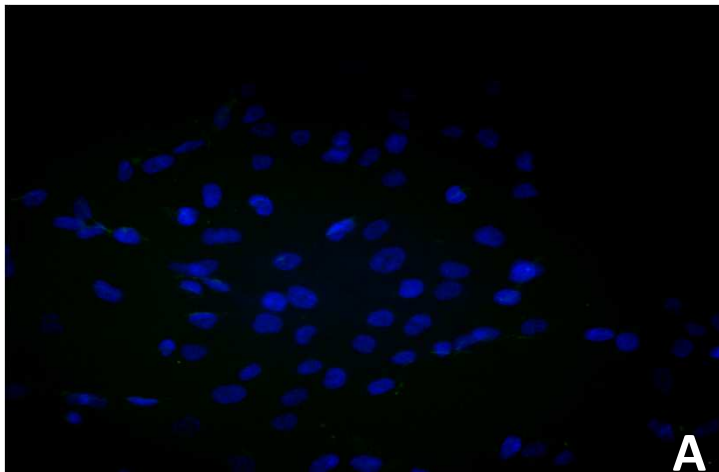
- **Sera** from 40 SSc patients and 10 healthy controls.
- **Pulmonary fibroblast proliferation** was assessed by BrdU labeling index at 72h of culture.
- **Myofibroblast conversion** was detected by  $\alpha$ -smooth muscle actin expression.



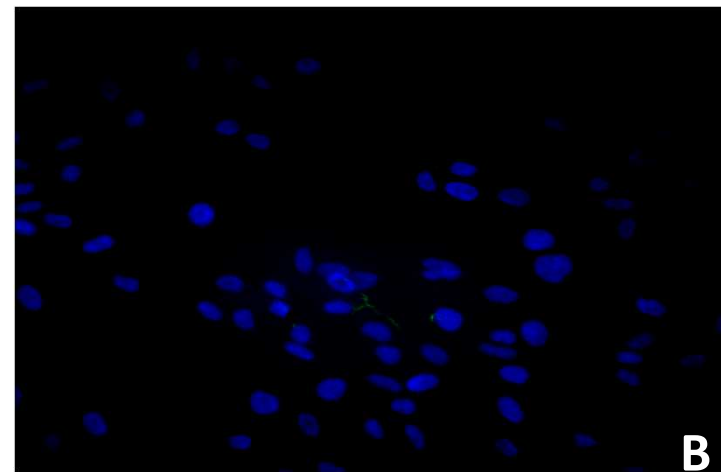


## Immunofluorescence staining of $\alpha$ -smooth muscle actin

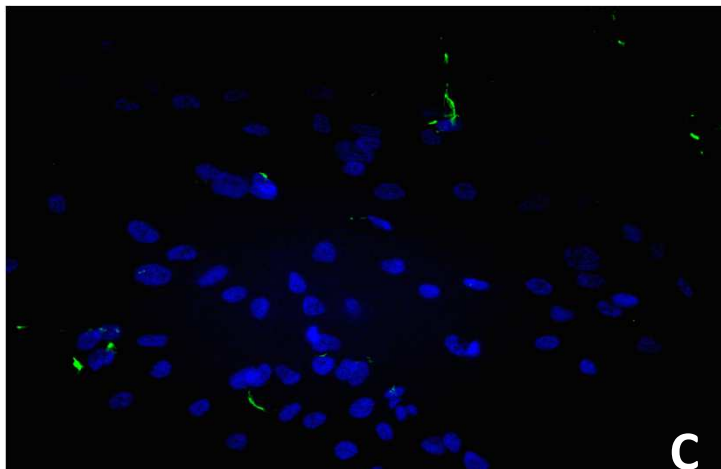
**Negative control (FBS)**



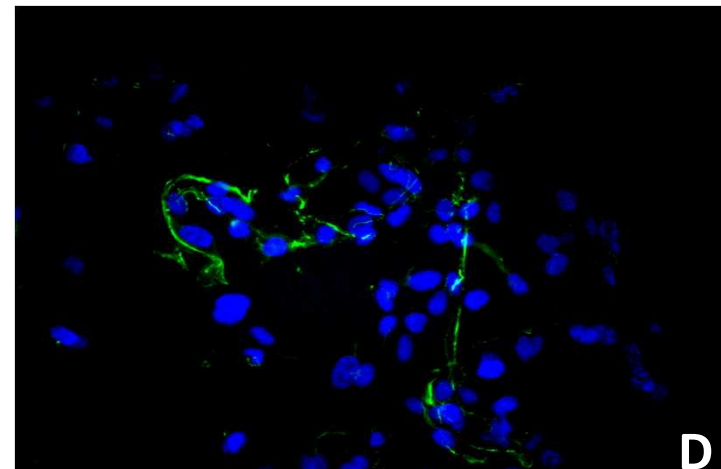
**Healthy subjects**

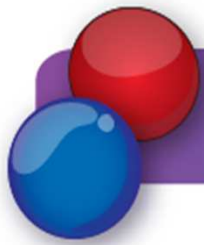


**Patients with  $C_A NO \leq 5ppm$**

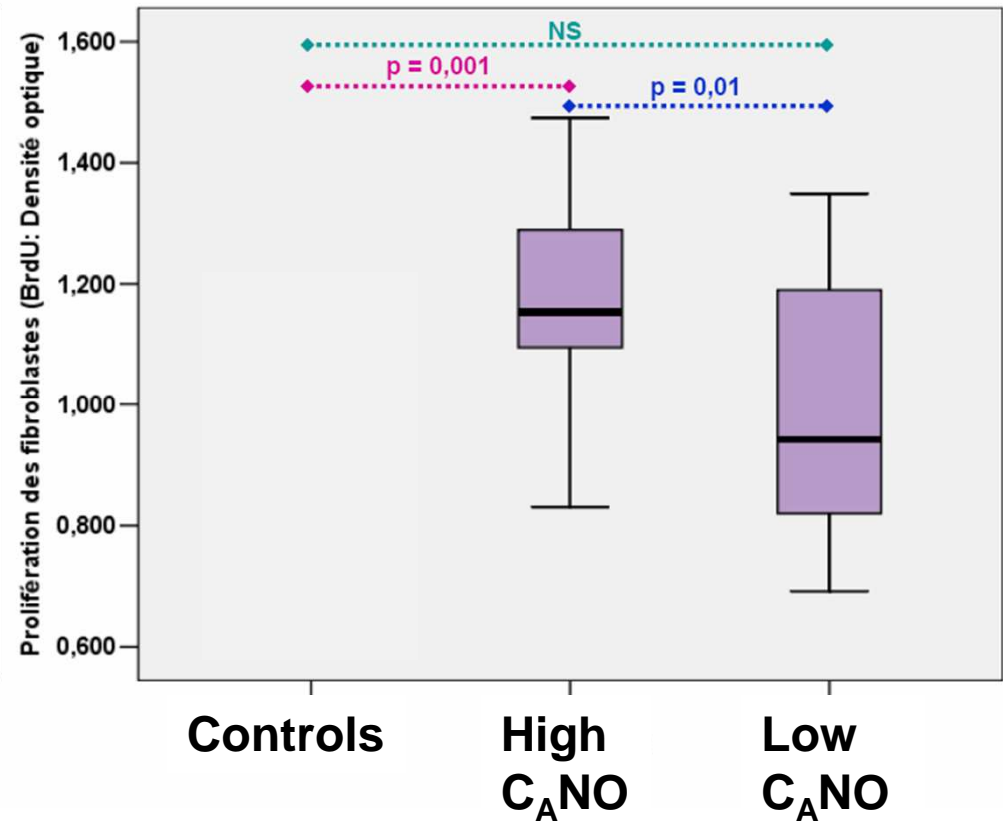
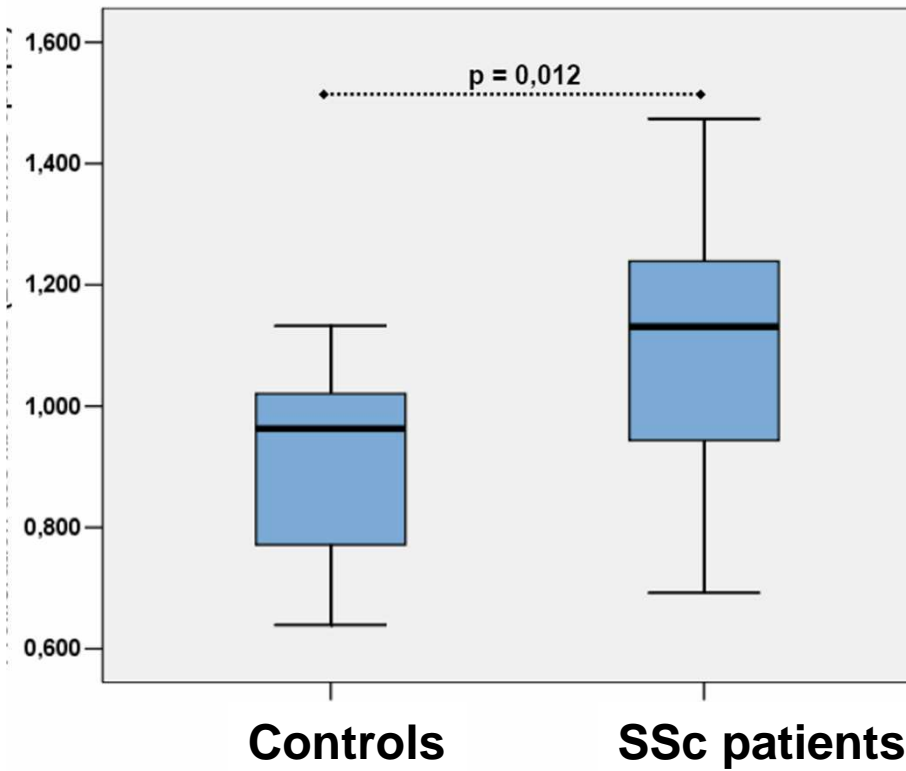


**Patients with  $C_A NO > 5ppm$**





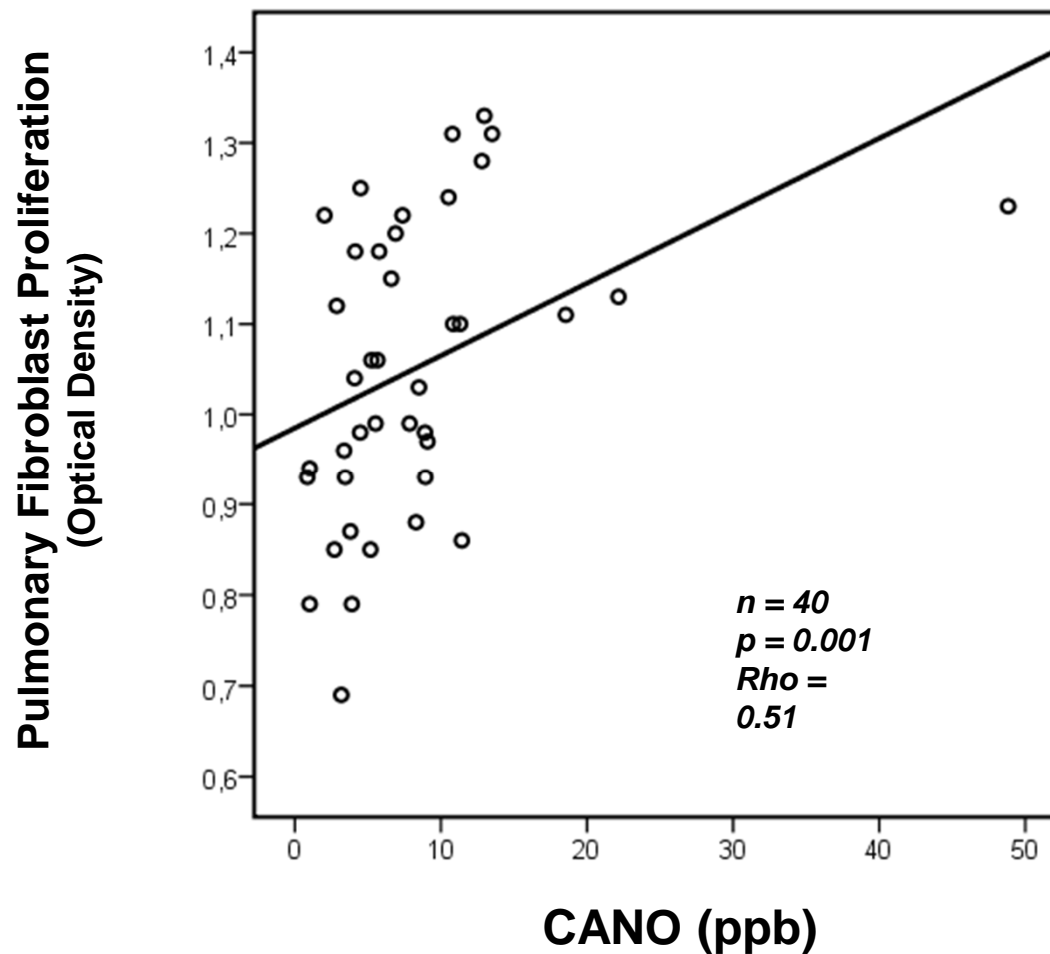
# Results



Hua-Huy et al. J Rheumatol 2010; 37: 1680-7.

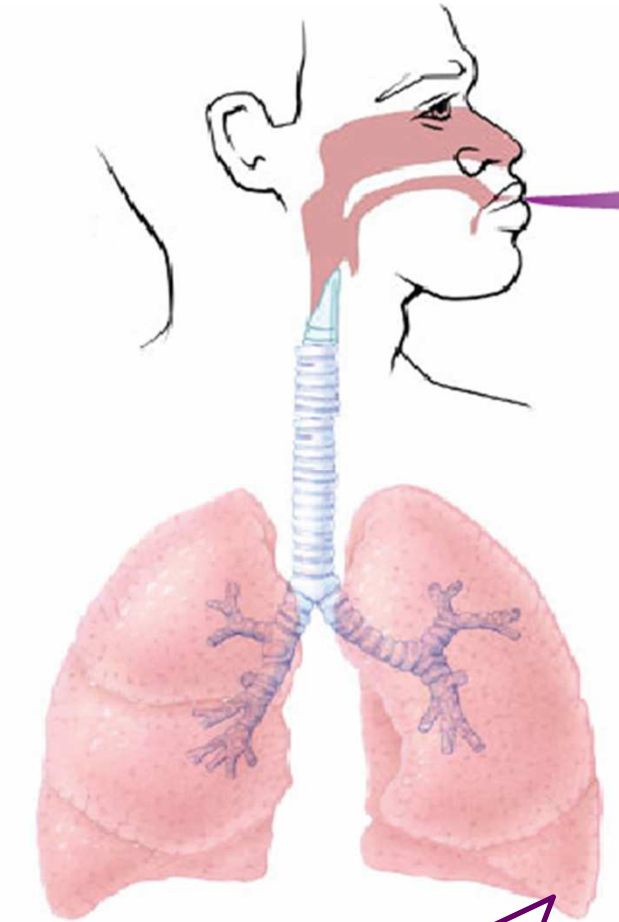


## Correlation between $C_A NO$ and pulmonary fibroblast proliferation



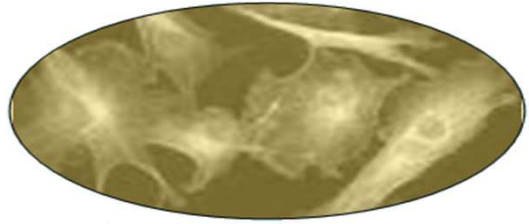
Hua-Huy et al. Am J Respir Crit Care Med 2008; 177: A45.





NO

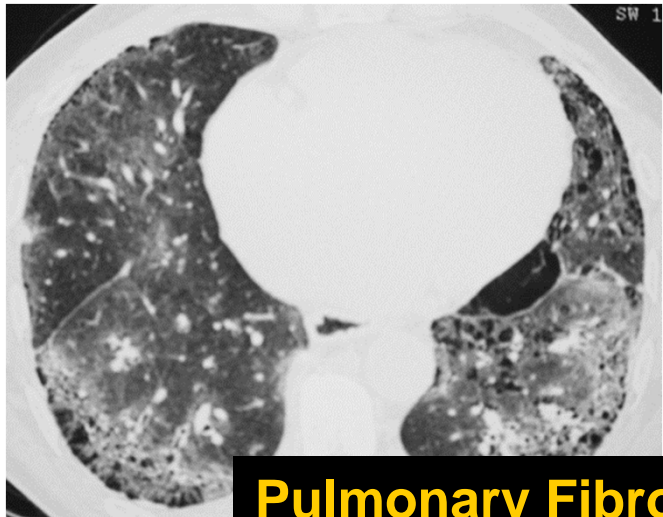
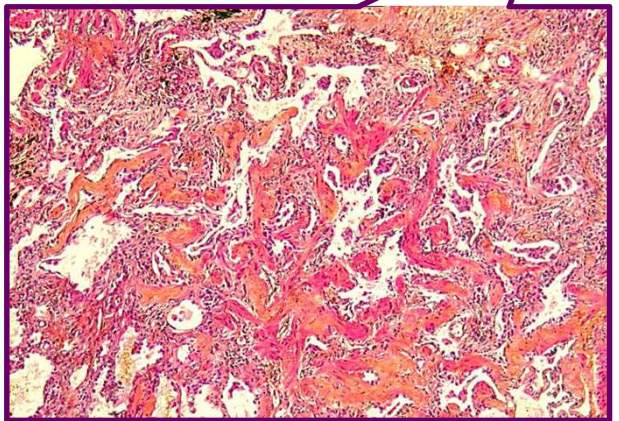
?



**Lung Fibroblasts Proliferation**



**Impaired Lung function**



**Pulmonary Fibrosis**